

ГОСУДАРСТВЕННЫЙ ГЕОЛОГИЧЕСКИЙ КОМИТЕТ СССР  
Главное управление геологии и охраны недр при  
Совете Министров РСФСР  
Читинское геологическое управление

ГЕОЛОГИЧЕСКАЯ  
КАРТА СССР

масштаба 1:200 000

Серия Западно-Забайкальская

Лист №-49-У

ОБЪЯСНИТЕЛЬНАЯ ЗАПИСКА

Составители: И.Н.Фомин,  
В.И.Ламманов

Редактор А.А.Арсеньев

Утверждено Научно-редакционным советом ВСЕГЕИ  
5 января 1961 г., протокол № I



Государственное научно-техническое издательство  
литературы по геологии и охране недр

Москва 1963

## В В Е Д Е Н И Е

Территория листа М-49-У расположена в пределах Читинского, Улетовского и Хилокского административных районов Читинской области и ограничена координатами:  $51^{\circ}20'$  -  $52^{\circ}00'$  с.ш. и  $112^{\circ}00'$  -  $113^{\circ}00'$  в.д.

Описываемая площадь находится в бассейне среднего течения р.Ингода и верхнего течения р.Хилок. Водоразделом этих рек служит Яблоновый хребет, имеющий асимметричное строение с более крутым юго-восточным склоном. Абсолютные высоты хребта достигают 1200-1361 м. К северо-западу от р.Хилок находится хр.Осиновый с абсолютными высотами 1300-1344 м. Перечисленные хребты имеют слабо расчлененные, плохо обнаженные и заболоченные водоразделы.

Крупными орографическими единицами являются Ингодинская и Беклемишевская впадины, имеющие равнинную, участками холмистую поверхность. Беклемишевская впадина в пределах территории листа протягивается на 40-50 км (при ширине в 10-15 км) в северо-восточном направлении и уходит за пределы описываемого района. Ингодинская впадина также имеет северо-восточное простиранье, длину 60 км при ширине 15-20 км.

Вся территория покрыта тайгой, от которой свободны лишь долины рек Хилок, Ингода, Хила, Холобо и некоторых их притоков.

Реки Хилок и Ингода являются наиболее крупными водными артериями района. Средний уклон р.Ингода 0,0013%, р.Хилок 0,0009%.

Реки, берущие начало с северо-западного и юго-восточного склонов Яблонового хребта, имеют различный характер долин. Так, реки, стекающие с северо-западного склона хребта (левые притоки р.Хилок), имеют широкие заболоченные долины, спокойное течение и сильно меандрируют. Левые притоки р.Ингода, а также реки, берущие начало на хребтах Осиновом и Черском, горные, с быстрым течением и узкими глубоко врезанными долинами.

В районе имеется много мелких и несколько крупных озер (Иргень, Большое, Гужирное). Озера Большое и Гужирное имеют горько-соленую воду.

Климат района резко континентальный. Зимой температура часто опускается ниже  $-40^{\circ}\text{C}$ , а летом поднимается выше  $+30^{\circ}\text{C}$ . Самый холодный месяц - январь, самый теплый - июль. Средняя годовая температура воздуха отрицательная.

Количество атмосферных осадков не превышает 425 мм, из которых большая часть выпадает в мае - сентябре. Преобладающие ветры западные и юго-западные. Широко развита многолетняя мерзлота.

Население на описываемой территории сосредоточено вдоль автомобильного тракта Чита - Улеты и вдоль Забайкальской железной дороги. Наиболее крупные населенные пункты - села Улеты, Черемхово, Татаурово, ж.-д. станции Кука, Яблоновая.

В районе имеется одна хорошая автомобильная дорога, соединяющая районный центр с. Улеты с г. Чита. Сообщение в летнее время на большей части территории возможно лишь гужевым и вьючным транспортом, и лишь в пределах Ингодинской депрессии - автомобилями.

До последнего времени в геологическом отношении район был очень слабо изучен. Первые геологические исследования проведены в 1895-1898 гг. В.А.Обручевым и А.П.Герасимовым (Обручев, 1899). В результате этих исследований центральное Забайкалье стало считаться страной, сложенной джекембрийскими кристаллическими породами, которые прорваны гранитами нижнепалеозойского возраста и разбиты на системы горстов и грабенов.

В 1931 г. И.И.Толстыхиным восточная часть района покрывается гидрогеологической съемкой. В 1932 г. в северной части территории проводились геологосъемочные работы Д.С.Соколовым.

В.М.Чаиркиным и С.Н.Коровиным в 1937 г. в бассейне реки Ингоды была произведена геологическая съемка масштаба 1:200 000. Ими впервые составлена стратиграфическая схема района, ряд положений которой сохранили свою ценность до настоящего времени. Из интрузивных образований авторы выделяют каледонские, варисские и нижнемезозойские гранитоиды. Отложения, выполняющие депрессии, были отнесены ими к нижнему мезу.

В 1939 г. западная часть листа закартирована в масштабе 1:1 000 000 И.В.Луцицким, М.С.Нагибиной и А.Г.Евдохиным, а к северу от р.Хилок - А.А.Арсеньевым и П.М.Клевенским. Стратиграфические схемы этих исследователей хорошо согласовываются друг с другом. Наиболее древние метаморфические образования протерозойского или нижнепалеозойского возраста разделены на два отдела. К нижнему отделу отнесены гнейсы и кристаллические сланцы. Верхний отдел представлен метаморфизованными конгломератами, песчаниками, зеленокаменными породами, порфириодами и метаморфическими сланцами.

Более молодой эфузивно-осадочный комплекс датируется на основании сопоставлений с Восточным Забайкальем как юрский. Отмечается широкое развитие угленосных верхнеюрско-нижнемеловых отложений, выполняющих депрессии тектонического происхождения.

Среди изверженных пород выделяются нижнепалеозойские гранитоиды, палеозойская габбровая интрузия и сложный верхнепалеозойский комплекс гранитов.

Наиболее молодые интрузивные породы, отнесенные к мезозою, имеют гипабиссальный облик и представлены гранитами (щелочными), габбро, сиенит- и гранит-порфирами, грорудитами и сельвбергитами.

В 1939 г. проводились разведочные работы на минеральные воды на территории курорта Кука (Ламтадэе, 1939ф). В районе ст. Яблоновая Г.Б.Пальшиным велись инженерно-геологические работы.

С 1949 г. все геологические работы сосредоточиваются в районе курорта Кука, где была произведена гидрогеологическая съемка масштаба 1:100 000 (Орлова, 1950ф). С этого же года по настоящее время на курорте ведутся разведочные работы на воду Кукинской партией Восточно-Сибирской гидрогеологической экспедиции. В 1954 г. в этом районе были проведены поиски масштаба 1:50000 с целью выяснения ураноносности пород и вод источников (Смольский и др., 1954ф).

В 1956 г. при составлении карты масштаба 1:500 000 описываемая территория листа была обследована контрольно-увязочными маршрутами (Зорина, 1957ф). В этом же году в районе ж.-д. станций Соходно, Яблоновая и курорта Кука проводила работы ревизионно-тематическая партия экспедиции № 2 (Пинчук, 1957ф).

С 1953 г. по 1958 г. в Беклемишевской депрессии было открыто и разведано Иргенское буроугольное месторождение (Размакнина, 1959г.).

В 1956 г. (Суслеников, 1957 г.) в центральной части проведена аэромагнитная съемка масштаба 1:200 000. С 1956 по 1958 г. территория листа была закартирована в масштабе 1:200 000 (Фомин, Лашманов и др., 1958 г.).

### С Т Р А Т И Г Р А Ф И Я

Осадочные и эфузивные образования занимают около половины площади. Среди них наиболее широким распространением пользуются пермо-триасовые эфузивы и верхнеюрско-нижнемеловые озерно-континентальные отложения. Основные поля эфузивов распространены в северной части листа, осадочные образования развиты в пределах Ингодинской и Беклемишевской депрессий.

Стратиграфическая схема района представляется в следующем виде:

1. Кристаллические сланцы, кварциты, гнейсы, кислые эфузивы застепинской толщи верхнего протерозоя.
2. Метаморфические сланцы, зеленокаменные порфириты, аркозы и конгломераты ортинской свиты нижнего карбона.
3. Пермо-триасовые средние, кислые и щелочные эфузивы.
4. Осадочные грубообломочные и эфузивные отложения нижне-верхнеюрского возраста, относимые к харыгатинской и бальзойской свитам.
5. Верхнеюрско-нижнемеловые угленосные отложения.
6. Четвертичные образования древнего и современного отложений.

### В Е Р Х Н И Й П Р О Т Е Р О З О Й

Застепинская толща (Pt<sub>2</sub>,zs). Метаморфические породы, относимые к докембрию, встречаются в виде небольших ксенолитов в гранитоидах различного возраста. Наибольшая концентрация ксенолитов отмечается вдоль юго-восточных отрогов Яблонового хребта в нижнепалеозойских гранитах, значительно реже встречаются они на водораздельной части хребта. Размеры их варьируют

от первых метров до сотен метров. На территории, примыкающей к Ингодинской депрессии, ксенолиты образуют поля размером до 60 км<sup>2</sup>.

Среди метаморфических образований наибольшим распространением пользуются биотитовые и роговообманково-биотитовые гнейсы, переслаивающиеся между собой. Переслаивание этих пород иногда довольно частое. Мощность полос измеряется первыми сантиметрами. В бассейне р. Сенга-Гуйлон среди биотитовых гнейсов наблюдаются линзы роговообманково-биотитовых гнейсов.

По левобережью рек Сипчикур, Алданой и в других местах в резко подчиненном количестве встречаются кристаллические сланцы. Обычно они образуют в гнейсах прослои мощностью от 1,5 м до нескольких десятков метров. В отдельных обнажениях среди гнейсов отмечены порфириды, кварциты и сильно ороговикованные полимиктовые песчаники. В песчаниках изредка встречаются мелкие (до 3 x 4 см) уплощенные гальки мелкозернистых лейкократовых гранитов. Распределение отдельных литологических разностей по площади не обнаруживает какой-либо закономерности.

Все породы описанной толщи испытали региональный метаморфизм, выразившийся в полной перекристаллизации первичного материала. Контактовый метаморфизм, обусловленный нижнепалеозойской интрузией, проявился в виде гранитизации, послойной инъекции, ороговиковования пород. В зоне крупного Ингодинского разлома породы претерпели сильный динамический метаморфизм с образованием катаклазитов, милонитов и тектонических брекчий.

По минералогическому составу и структуре метаморфические породы более или менее однообразны. Для всех них характерны гранобластовые и микролепидогранобластовые структуры. Различаются они по количественному соотношению пордообразующих минералов. Состав типичных гнейсов: олигоклаз № 25-30 (25-30%), калиевый полевой шпат (до 35%), кварц (45%), биотит (15%). В роговообманково-биотитовых гнейсах помимо перечисленных минералов встречаются роговая обманка (15-20%), реже геденбергит, силлиманит, кордиерит; основность плагиоклаза здесь возрастает до андезина. Аксессорные минералы представлены сфером, апатитом, гранатом, рудным минералом, реже цирконом и антазом. В гнейсах отмечается реликты псаммитовой структуры.

Среди сланцев наиболее распространены слюдисто-кварц-полевошпатовые и биотит-роговообманково-полевошпатовые разности,

содержащие мало кварца (до 10%), много плагиоклаза (олигоклаз-андезина № 30–32) и цветных минералов (до 35%).

Песчаники сильно ороговикованы, структура их псамитовая и гранобластовая. Цемент типа соприкосновения. Иногда в песчаниках отмечается микролепидогранобластовая структура, и порода становится похожей на гнейс.

Порфириоды характеризуются тонкоплитчатой текстурой, содержат редкие вкрапленники серицитизированного плагиоклаза, погруженные в нацело перекристаллизованную мелкозернистую кварц-полевошпатовую массу.

Преобладающее развитие гнейсов с реликтами псамитовой структуры, присутствие песчаников и кварцитов указывает на широкое развитие в верхнем протерозое на территории района терригенных отложений. О наличии вулканической деятельности можно судить по присутствию в разрезе порфириодов.

Все описанные отложения являются наиболее древними на исследованной территории. Они прорываются нижнепалеозойскими и другими гранитами и встречаются в них в виде ксенолитов.

Предыдущими исследователями возраст рассмотренных метаморфических пород принимался либо протерозойским – нижнепалеозойским (Н.А.Флоренсов и др., 1941 г.; И.В.Лучицкий и др., 1940 г.; Щеглов, 1956 г.; В.И.Фельдман, 1954–1957 гг.) на основании сопоставления с наиболее древними образованиями Газимуро-Заводского района (Восточное Забайкалье), либо докембрийским (В.А.Обручев, 1899; Лейтес, 1951 г.). Нами возраст этих отложений принят как верхнепротерозойский.

## КАМЕНОУГОЛЬНАЯ СИСТЕМА

### НИЖНИЙ ОТДЕЛ

**Ортинская свита.** Породы ортинской свиты отмечены на северо-восточном склоне Яблонового хребта в бассейнах рек Большая Улетка, Гуйлон и Санга. Здесь они образуют три изолированных поля, из которых западное и восточное сложены в основном терригенными отложениями, а центральное поле – эфузивно-сланцевыми породами. Ортинская свита в бассейне р.Улетка залегает на размытой поверхности нижнепалеозойских гранитов и прорывается гранитоидами даурского интрузивного комплекса. В сос-

таве каменноугольных отложений выделено три подсвиты:

1. Нижняя подсвита – конгломераты, арковые и полимиктовые песчаники с прослоями кислых эфузивов, кварц-серicitовых и кремнисто-углистых сланцев. Мощность до 1000–1100 м.

2. Средняя подсвита – зеленокаменные эфузивы. Мощность не менее 1000 м.

3. Верхняя подсвита – амфиболовые, кварц-биотит-полевошпатовые и эпидот-серicit-хлоритовые сланцы с редкими прослойками песчаников. Мощность не менее 700 м.

Нижняя подсвита (С<sub>1</sub>ог<sub>1</sub>). Отложения нижней подсвиты развиты в бассейне р.Улетка (площадь около 8 км<sup>2</sup>) и р.Санги (площадь 16 км<sup>2</sup>), где они слагают два разобщенных друг от друга поля. Подсвита имеет чрезвычайно пестрый и изменчивый фациально-литологический состав и сложную тектонику. В вершине р.Муморта (левый приток р.Улетка) на водоразделе с р.Жилкехен разрез палеозойских отложений начинается базальным горизонтом видимой мощностью 500 м. гравийно-галечных конгломератов с арковым цементом.

Далее на север (снизу вверх по разрезу) в аллювии наблюдалась следующая смена пород:

1. Порфириоды и кремнисто-углистые сланцы .....	400 м
2. Средне-, крупнозернистые светло-желтые арковые песчаники .....	150 "
3. Порфириоды бледно-серого цвета .....	100 "
4. Красновато-бурые арковые песчаники .....	200 "
5. Голубовато-серые порфириоды .....	100 "
6. Светло-желтые арковые песчаники .....	130 "
7. Кремнисто-углистые сланцы с гранатом .....	65 "
8. Мелкозернистые светло-желтые арковые песчаники .....	60 "
9. Голубовато-серые порфириоды .....	100 "
10. Кремнисто-углистые сланцы с плохо сохранившимися отпечатками флоры .....	100 "

В 1 км восточнее (по простиранию) на водоразделе рек Муморты и Богдарин, где эти отложения прорываются даурскими гранитоидами, подсвита имеет следующий разрез (базальные горизонты отсутствуют):

1. В 10 м от контакта с даурскими гранитоидами встреченны кварц-серicitовые сланцы .....	80 м
2. Частое чередование кварц-серicitовых сланцев с сильно ороговикованными песчаниками и кремнисто-углистыми сланцами .....	70 "
3. Полимиктовые ороговикованные песчаники .....	50 "
4. Графитизированные кремнисто-углистые сланцы .....	30 "
5. Ороговикованные песчаники .....	40 "
6. Кремнисто-углистые сланцы .....	70 "

7. Песчаники ..... 20 м  
Видимая мощность подсвиты 360 м.

При микроскопическом изучении пород можно отметить следующие характерные для них особенности. Так, для кремнисто-углистых сланцев обычны бластопелитовые структуры. Среди пелитовой основной массы, состоящей из мельчайших частиц углистого вещества и зерен кварца, отмечаются единичные алевролитовые частицы кварца, плагиоклаза, биотита, иногда встречаются порфиобласти хлестолита.

Порфиоиды представляют собой макроскопически афанитовые или порфировые породы, сложенные кварцем, полевым шпатом, в подчиненном количестве биотитом. Структура пород бластопорфовая с микролепидогранобластовой структурой основной массы.

Темно-серые песчаники имеют массивную, реже сланцеватую текстуру, полимиктовый состав и алевропелитовый цемент.

Наибольший интерес среди пород подсвиты представляют гравийно-галечные конгломераты. Содержание гальки в них колеблется в пределах 40-50%. Размеры ее от 0,5 до 3,5 см; состав однобразный, отвечающий подстилающим породам малхансского интрузивного комплекса. В основном это мелкозернистые биотитовые граниты, очень редко гранит-порфиры. Цемент дресвяный, состоящий из угловатых зерен полевого шпата и кварца. Наложенные процессы метаморфизма проявились в некоторой перекристаллизации породы.

Средняя подсвита ( $C_1$  or  $C_2$ ) на территории листа развита по левобережью р.Большая Улетка (площадь до  $10 \text{ км}^2$ ) и по правобережью р.Булан-Тала. Представлена она зеленокаменными андезитовыми и диабазовыми порфиритами зеленовато-серого цвета, в разной степени рассланцованными и измененными. Очень редко в них наблюдается трахитоидность, выраженная в ориентировке лейст плагиоклаза. Структура пород порфировая с интерсертальной структурой основной массы. В составе последней отмечаются хлорит, эпидот, цоизит, плагиоклаз, во вкрашениниках - альбитизированный плагиоклаз, псевдоморфозы хлорита и рудного минерала по цветным минералам. Реже встречаются миндалекаменные разновидности порфириотов. Миндалины выполнены кварц-эпидотовым агрегатом.

Порфириты залегают согласно с напластованием осадочных пород нижней подсвиты.

На водоразделе р.Хадакта и Большая Улетка на расстоянии 400 м наблюдался следующий разрез (снизу вверх):

1. Сильно ороговикованные песчаники .....	50 м
2. Кварц-биотитовые сланцы .....	10 "
3. Перемежаемость песчаников и сланцев. Встречаются маломощные прослои гравийно-галечных конгломератов. В песчаниках отмечаются остроугольные обломки сланцев .....	150 "
4. Биотит-кварц-полевошпатовые сланцы .....	20 "
5. Порфироиды .....	100 "
6. Зеленокаменные андезитовые порфириты. Порфириты содержат два согласных прослоя (мощностью 1 и 2 м) темно-серых порфиридов .....	60 "
7. Песчаники .....	10 "
8. Белые кремнистые сланцы .....	4 "
9. Зеленокаменные андезитовые порфириты. Предполагаемая мощность средней подсвиты не менее 1000 м.	

Верхняя подсвита ( $C_1$  or  $C_2$ ) преимущественно сланцевая подсвита развита в бассейне рек Большая Улетка и Гуйлон. Полный разрез ее неизвестен. В нижних горизонтах среди серицит-хлорит-кварцевых сланцев встречаются маломощные прослои (до 20-30 м) сильно метаморфизованных и рассланцованных песчаников, кремнисто-углистых сланцев и зеленокаменных эффузивов.

Разрез верхней подсвиты прослежен по левобережью р.Гуйлон, и правому берегу р.Большая Улетка (снизу вверх):

1. Серицит-хлорит-кварцевые сланцы .....	300 м
2. Кварц-полевошпат-слюдистые сланцы .....	100-150 "
3. Биотит-полевошпат-актинолитовые и биотит-ставролитовые сланцы .....	100-120 "
4. Кварц-полевошпат-слюдистые сланцы .....	80-100 "
5. Кварц-полевошпат-биотит-амфиболовые и амфиболовые сланцы .....	

Общая мощность подсвиты не менее 700 м.

Сланцы имеют лепидогранобластовую структуру. Цвет пород (серый, темно-серый или серовато-зеленый) зависит от минералогического состава. В кварц-полевошпат-слюдистых сланцах ткань состоит из мелких зерен кварца, полевых шпатов, биотита и бесцветной слюды, в серицит-хлорит-кварцевых сланцах основная ткань представлена хлоритом, серицитом, эпидотом. В других разновидностях большую роль в составе породообразующих минералов играют актинолит, ставролит, амфибол. Из акцессорных минералов присутствуют апатит, турмалин, сфен, рудный минерал.

Отложения ортинской свиты залегают (с базальным горизонтом конгломератов в низах свиты) на гранитоидах малхансского интрузивного комплекса. В свою очередь они прорываются гра-

нитами даурского интрузивного комплекса. В кремнисто-углистых сланцах нижней подсвиты в вершине р.Богдарин найдены отпечатки коры *Lepidodendron* sp., характерные для нижнего отдела каменноугольной системы. Аналогичные хвости встречаются в отложениях турнейского и визейского ярусов на территории Монгольской Народной Республики.

### ВЕРХНИЙ ОТДЕЛ ПЕРМСКОЙ СИСТЕМЫ И ТРИАСОВАЯ СИСТЕМА

Эффузивы этого возраста широко развиты в районе и слагают хр.Осиновый, юго-восточные предгорья хр.Цагай-Хуртей, горы Гулум и Гонгота. Все эффузивы залегают в виде покровов, суммарная мощность которых составляет 450–600 м, на размытой поверхности палеозойских гранитов. В свою очередь эффузивы перекрываются грубообломочными отложениями нижней – средней юры.

Все пермско-триасовые эффузивные образования разделены на три свиты<sup>х</sup> (снизу вверх):

1. Петропавловская свита – средние эффузивы и их пирокластические образования с прослойями туфопесчаников. Видимая мощность порядка 80 м и более.
2. Тамирская свита – кислые эффузивы, пирокластические образования с прослойями туфопесчаников и туфоконгломератов. Мощность 200–300 м.
3. Цаган-хунтейская свита – щелочные эффузивы и пирокластические образования щелочного состава. Видимая мощность 200–250 м.

Петропавловская свита ( $P_2-T_1pt$ ). Средние эффузивы петропавловской свиты широко развиты в северо-восточной части территории листа в бассейне р.Курсын. Отдельные мелкие покровы порфиритов отмечены по левобережью р.Хилок и в бассейне р.Хила. Западнее они слагают большие площади на хр.Цаган-Хуртей. Среди пород этой свиты известны андезитовые порфириты и их брекчии, в резко подчиненном количестве – туфопесчаники. Последние встречаются в виде маломощных (15–25 м) прослоев. Пи-

<sup>х</sup> Мощности эффузивов получены по разности отметок кровли и подошвы покровов, а для кислых эффузивов по данным геофизических работ.

рокластические породы (брекчи) не обнаруживают какой-либо закономерности распределения в лавах.

Эффузивные и пирокластические породы рассматриваемой свиты имеют темно-серую или темно-фиолетовую окраску, массивную тексттуру. Порфириты обычно порфировой (реже афировой) структуры, с интерсерпальной или гиалопилитовой структурой основной массы. Вкраепленники представлены серицитизированным плагиоклазом (андезином № 31–32), псевдоморфозами карбоната и хлорита по цветному минералу.

В составе пирокластического материала брекчий отмечаются обломки пород (порфириты, граниты) и минералов (плагиоклаз, калиевый полевой шпат).

Цемент представлен эффузивом с неясно кристаллической структурой основной массы и встречается в резко подчиненном количестве.

Туфопесчаники обычно желтого цвета, содержат до 95% кластического материала. Цемент типа соприкосновения и выполнения пор и состоит из серицит-кварц-эпидотового агрегата, иногда с пепловыми частицами.

Взаимоотношения порфиритов с кислыми и щелочными эффузивами наблюдались неоднократно. Так, по правобережью р.Хилок кварцодержащие порфириты залегают на андезитовых порфиритах и включают ксенолиты последних. По правобережью р.Санги брекчи кератофира перекрывают порфириты. Обломочный материал в них представлен нижележащими порфиритами и гранитами.

В нижнем течении р.Хилок из отложений петропавловской свиты определена флора *Paracalamites* sp., *Noeggerathiopsis* cf. *anomala* Radcz., *Grassineria parva* Radcz. sp. nov., *Cordaiocarpus tringularis* Radcz. sp. nov., *Cardiocarpus* sp., *Calycocarpus crassus* Tagas., *Coleocarpus quadratus* Radcz., которая, по заключению Г.П.Радченко и И.Н.Сребродольского, характерна для верхней перми.

Западнее рассматриваемого района в пределах территории листа М-48-ХП из прослоев туфосланцев среди средних Эффузивов в 1955 г. была собрана флора (определение Г.П.Радченко): *Pscopteris crenulata*, *Cladophlebis nervosa* Ргун., *Tersielia* sp. nov., *Vuccites* sp. nov., которая характерна для нижнего триаса.

Таким образом, по имеющимся по настоящее время данным, воз-

раст средних эфузивов петропавловской свиты можно считать как верхняя пермь - нижний триас.

Тамирская свита (т т.). В состав тамирской свиты входят разнообразные кислые эфузивы, среди которых выделяются: дациевые порфиры, кварцевые и кварцсодержащие порфиры, фельзит-порфиры.

Дациевые порфиры встречаются по правобережью рек Хила и Суба и на горе Гонгота, где они прорывают кварцевые порфиры и занимают самые возвышенные участки рельефа.

Наиболее широким развитием среди кислых эфузивов пользуются кварцевые и кварцсодержащие порфиры, покровы которых занимают большую часть Осинового хребта, где среди пирокластических образований кислого состава выделяются туфоловы и лавобрекции. Туфоловы и лавобрекции не образуют стратиграфически выдержанного горизонта. Часто наблюдаются переходы от лав, через пирокластические лавы к туфобрекциям и литокристаллическим туфам в пределах одного обнажения.

Туфогенно-осадочные образования среди пород свиты пользуются весьма ограниченным распространением. Отдельные их прослои отмечались как среди кварцсодержащих порфиров (правобережье р.Улуктуй, р.Гонгота), так и среди дациевых порфиров (правобережье р.Хила). Среди них выделяются сильно метаморфизованные туфопесчанники, песчаники и туфоконгломераты. О мощности прослоев можно судить лишь приблизительно; по правобережью р.Гонгота мощность этих отложений около 30 м.

Для пород описываемой свиты отмечается большое разнообразие цветом: темно-фиолетовые, темно-серые, белые с фиолетовым, розовым и бледно-силеневым оттенком. Структура пород более или менее однообразна. Наиболее часто встречается порфировая структура пород с микрофельзитовой структурой основной массы. Для дациевых порфиров горы Гонгота характерна микраллотриоморфнозернистая структура. В кварцсодержащих порфирах и фельзит-порфирах иногда встречаются флюидальные текстуры. Обычно флюидальность невыдержанная и характеризуется неправильными изгибами полос различной структуры: псевдосферолитовой, микрофельзитовой. Во вкрацленниках встречаются кварц, калиевый полевой шпат (ортоклаз), плагиоклаз (олигоклаз № I2-I3 в кварцевых порфирах, андезин № 37-38 в дациевых порфирах). Двойникование плагиоклазов по альбитовому или альбит-карлсбад-

скому законам. По биотиту иногда образуются псевдоморфозы хлорита, а по роговой обманке - рудный минерал и кремнезем.

Сравнивая результаты химических анализов пород этой свиты с аналогичными породами (по Дэли), можно отметить, что для всех эфузивов характерна резкая пересыщенность глиноземом, бедность магнезией, богатство железом, почти одинаковое содержание щелочей натрия и калия. Среди этих эфузивов выделяются разновидности, не содержащие или почти не содержащие, калиевого полевого шпата  $a : c = 4-5$ ,  $n = 50-90$  (и содержащие во вкрацленниках и в основной массе преимущественно калиевый полевой шпат  $a : c = 15-22$ ,  $n = 32-59$ ).

Взаимоотношения кислых эфузивов с породами вышележащей цаган-хунтейской свиты выражаются как в прорывании кислых эфузивов дайками граносиенит-порфиров и сиенит-порфиров, которые являются подводящими каналами для покровов щелочных эфузивов, так и в постепенных переходах (верховья р.Гонгота, левобережье пади Уту-Горхон) кварцсодержащих порфиров тамирской свиты (снизу вверх) через субщелочные порфирь в ортофирь и лавобрекции щелочного состава цаган-хунтейской свиты. Западнее рассматриваемого района в пределах листа М-48-ХЛ в отложениях тамирской свиты найдена флора *Cladophlebis aff. ichilensis* C z e., *Cladophlebis cosubovi srebrevi* sp. nov. (определения Г.П.Радченко и И.Н.Сребродольской), которая характеризует отложения триасового возраста (нижний или средний триас).

Цаган-хунтейская свита (т ch).Щелочные эфузивы этой свиты слагают небольшие по площади покровы на самых возвышенных участках хр.Осинового. Среди них известны ортофирь, кератофирь, туфо- и лавобрекции и агломератобрекции, представляющие скопление мелких и крупных (более 10 см) спекшихся обломков кератофира, отмечены по правобережью р.Хилок. Макроскопически породы свиты имеют белую и светло-серую окраску с голубоватым или бледно-силеневым оттенком, очень часто с пористой текстурой. Структура основной массы трахитовая или микролитовая. В порфировых вкрацленниках обычны плагиоклазы (альбит, олигоклаз), калиевый полевой шпат, биотит. Основная масса в ортофирах представлена калиевым полевым шпатом, тонкораспыленным рудным минералом; в кератофирах в основной массе преобладают микролиты альбита микрочешуйки опацитизированного биотита, рудного минерала. В некоторых разновидностях

в основной массе встречается кварц до 5% (кварцевый кератофир).

Щелочные эфузивы района по своим петрохимическим свойствам отличаются от средних составов аналогичных пород (по Дэли) меньшим содержанием щелочей, что выражается смещением фигуративной точки влево в плоскости ASB ; из щелочей в породах преобладает калий над натрием.

По величине Q-II-15 породы слабо пересыщены или пересыщены кремнеземом.

Спектральным анализом установлено, что для щелочных эфузивов элементом-индикатором является бериллий; в повышенных содержаниях отмечается галлий (до 0,005%). Такие элементы, как свинец, медь, марганец, ванадий, цирконий, встречаются во всех эфузивах.

Аналогичные эфузивные образования широко развиты в бассейне р.Хилок. А.А.Арсеньевым (1939 г., 1951), Ю.П.Деньгиным и другими возраст эфузивов определялся в широких пределах – от верхнего палеозоя до верхней юры. В пределах листа М-49-У эфузивы залегают на размытой поверхности гранитоидов даурского комплекса и перекрываются грубообломочными отложениями нижней – средней юры.

Из района Гусиного озера с левого водораздела рч.Темник аргоновым методом был определен возраст ортофиров, оказавшийся равным 180 млн. лет (Новиков, Сагалуев, 1956 г.).

#### ЮРСКАЯ СИСТЕМА

Юрские отложения пользуются довольно широким развитием вдоль северо-западных и юго-восточных отрогов Яблонового хребта, пространственно тяготея к Ингодинской и Беклемишевской впадинам. Они относятся к нижнему- среднему и верхнему отделам и подразделяются на две свиты:

1. Харюлгатинская свита (конгломератовая) – 350–400 м.
2. Бальзойская свита (осадочно-эфузивная) – 380 м.

#### НИЖНИЙ – СРЕДНИЙ ОТДЕЛЫ

Харюлгатинская свита. Харюлгатинская свита представлена сильно уплотненными конгломератами, аркозами, реже алевролитами и песчаниками. Полоса этих отложений протягивается по

левобережью р.Хилок от устья р.Холобо до западной границы территории. В бассейне р.Арты (юго-западная часть листа) описываемые образования прекрасно обнажены в береговых обрывах. На этом участке можно наблюдать непрерывный разрез свиты на расстоянии нескольких километров. В ее составе выделяются две подсвиты:

1. Нижняя подсвита (когломератовая).....	250-300 м
2. Верхняя подсвита (алевролито-песчано-конгломератовая) .....	80-120 "

Нижняя подсвита ( $J_{1-2} hr_1$ ). Отложения подсвиты представляют наиболее широко распространенную группу пород харюлгатинской свиты. Базальные горизонты ее представлены аркозовыми песчаниками и валунно-галечными конгломератами с аркозовым цементом. Залегают эти отложения на размытой поверхности даурских гранитоидов и триасовых эфузивов.

Аркозы и конгломераты с аркозовым цементом отмечены в бассейне рек Улетка и Гуйлон. Видимая мощность их 70-100 м.

В устье р.Санга в береговом обрыве виден переход биотит-роговообманковых гранитов в аркозы. По мере удаления от контакта с гранитами в аркозах увеличивается содержание кварц-сернистого цемента.

В бассейне р.Гуйлон среди аркозов встречаются линзовидные прослои гравийно-галечных конгломератов (мощностью 15-20 м, длиной до 2-2,5 км) и пелитовых сланцев. В сланцах отмечаются обильные остатки стеблей растений и обломки мелких раковин.

В южном поле развития отложений харюлгатинской свиты (бассейн р.Большая) разрез начинается с галечных конгломератов. В обломочном материале последних изредка наблюдаются плохо окатанные валуны гранитов. Цемент песчаний, полимиктового состава, реже аркозовый.

Выше по разрезу в галечных конгломератах появляются быстро выклинивающиеся прослои песчаников и алевролитов. Мощностью от 2 до 17-20 м и длиной от 200 до 450 м. В песчаниках много плохо сохранившихся остатков стеблей и отпечатков листьев.

Мощность отложений нижней подсвиты 250-300 м.

Верхняя подсвита ( $J_{1-2} hr_2$ ) согласно за-  
легает на нижней и характеризуется сильной фациальной изменчи-  
востью слагающих ее пород. В бассейне р.Арты отложения подсви-  
ты представлены чередованием конгломератов, песчаников, алев-  
ролитов. Среди конгломератов преобладают валунно-галечные раз-

новидности, но встречаются галечные и гравийно-галечные. Отмечаются линзы и маломощные прослои гравелитов, постепенно переходящих в конгломераты. Размеры линз гравелитов варьируют от 0,5 x 4 м до 6 x 20 м. Довольно часто прослои полимиктовых песчаников мощностью от 0,5 до 5-10 м, прослеживающиеся на расстояние от 40 до 110 м и более.

Микроскопическое изучение песчаников устанавливает их полимиктовый состав и псаммитовую структуру. Цемент песчаников представлен равномерно окремнелым серицит-каолиновым материалом. Иногда в песчаниках отмечаются микропроявления, выполненные гидротермальным гребенчатым кварцем и криптоизернистым агрегатом кремнезема.

Прослои алевролитов обычно имеют небольшую мощность от 1 до 5 м при длине до 20 м. Нередко они слагают кровлю и подошву песчаников. Микроскопически установлено, что алевролиты имеют псаммито-алевролитовую структуру и состоят из мелкого (0,03-0,19 мм) обломочного материала (от 30 до 70%) и цементирующей массы, представленной бурым гидрослюдистым агрегатом с примесью темно-бурого рудного минерала и светло-зеленого хлорита.

Примерная мощность отложений верхней подсвиты составляет 80-120 м. Взаимоотношения харюлгатинской свиты с более древними породами выражаются в трансгрессивном налегании ее на палеозойских гранитах и триасовых эфузивах. В свою очередь грубообломочные отложения этой свиты перекрываются эфузивами бальзойской свиты и нижнемеловыми озерно-континентальными образованиями депрессий.

Из алевролитов харюлгатинской свиты выделен следующий спорово-пыльцевой комплекс: споры *Leiotriletes*, *Trachitriletes*, *Hymenophillum* (?) sp., *Lophotriletes* (*Osmunda* ?), *Zonotriletes* (тип *Selaginella*) *Leiotriletes* (*coniopterus*), *Hymenophyllaceae* (?), *Lygodium subsimplex*., пыльца *coniferae*, *Pseudopicea*, *Pinaceae*, *Pinus*, *Bennettites*, *Gingoales*, *Podocarpus*.

По заключению А.А.Сиротенко (спорово-пыльцевая лаборатория ЧГУ, 1958 г.) этот комплекс спор и пыльцы позволяет судить о предположительно юрском возрасте отложений.

По правобережью р.Арта непосредственно за южной границей описываемой территории в прослое алевролита были найдены отпе-

чатки *Cladophlebis haiburnensis* (Z i n g l et H u t t) Sew., которые, по заключению А.В.Аксарина (Томский политехнический институт), встречаются в средней юре.

Там же Б.М.Штемпелем были определены следующие формы: *Rodozamites augustins* (E i c h w) H e e g., *Czekanowskia setacea* H e e g., *Czekanowskia rigida* H e e g., *Cladophlebis cf. haiburnensis* (Z. ef. H.). По его сообщению, это комплекс флоры указывает на юрский и, вероятно, на лейасовый возраст отложений. Единичные находки флоры позволяют пока считать возраст этой свиты нижне-среднеюрским.

#### ВЕРХНИЙ ОТДЕЛ

Бальзойская свита (J<sub>3</sub>у). Отложения бальзойской свиты пользуются ограниченным развитием на юге и востоке описываемой территории. Представлены они в основном кислыми эфузивами, туфо- и лавобрекчиями, образующими мелкие покровы в бассейнах рек Старый Улутуй, Рышмалей и Арта. Видимые мощности покровов колеблются от 20 до 80 м.

Кварцевые и кварцодержащие порфиры этой свиты - светло-серые и белые породы, содержащие порфировые вкрапленники кварца и альбит-олигоклаза. Основная масса представлена слабо раскаристализованным стеклом с элементами фельзитовой, микрофельзитовой и сферолитовой структуры.

Туфолавы и лавобрекчи отличаются присутствием обломков минералов и пород: мелковернистые биотитовых гранитов, аляскитовых гранитов и дымчатым кварцем и розовым полевым шпатом эфузивов.

При рассмотрении химических анализов видно, что все свиты породы резко обеднены цветными компонентами и обогащены щелочами по сравнению со средними составами кварцевых порфиротов по Дэли. Из щелочей калий преобладает над натрием. По своим петрохимическим свойствам породы имеют субщелочной состав и приближаются к кварцевым кератофирам.

По левобережью р.Старый Улутуй встречены дациты - массивные светло-серые, серовато-зеленые и коричневые породы порфировой структуры. Залегают они в виде небольшого покрова (до 15 км<sup>2</sup>) на гранитоидах даурского интрузивного комплекса. Видимая мощность покрова 80-100 м. При микроскопическом изу-

чении отмечается витрофировая, микропойкилитовая и псевдосферолитовая структуры основной массы. В порифоровых вкраплениках присутствуют андезин № 36-40, биотит, редко кварц и роговая обманка. Дациты рвутся дайками липарита, имеющими витрофиковую структуру основной массы с перлитовой отдельностью.

Южнее, в пределах территории листа М-49-ХI по левобережью р.Перевальский Улотуй, дациты прорывают кварцодержащие порфиры.

В составе этой свиты описаны конгломератобрекчи. Они пользуются очень ограниченным распространением и наблюдались только в бассейне р.Арты, где перекрывают кислые эфузивы. Состоят конгломератобрекчи из угловатых глыб (до 0,4-0,5 м) мелких обломков (до 3 x 5 см) нижележащих эфузивов. Наряду с неокатанным материалом отмечается и хорошо окатанная галька этих же пород. Цемент наблюдается только на стыке глыб и представлен граувакковым песчаником. Мощность конгломератобрекчи 180 м.

Эфузивные образования бальзойской свиты с угловым несогласием залегают на породах нижне-среднеюрской харюгатинской свиты (бассейн р.Арты).

В свою очередь бальзойская свита перекрывается грубообломочными отложениями верхнеюрско-нижнемелового возраста. Таким образом, время образования бальзойской свиты находится в пределах верхней юры.

#### ВЕРХНИЙ ОТДЕЛ ЮРСКОЙ СИСТЕМЫ - НИЖНИЙ ОТДЕЛ МЕЛОВОЙ СИСТЕМЫ

Гусиноозерская серия нерасчлененная ( $J_3$ - $Cr_1gs$ ). Породы этого возраста выполняют Беклемишевскую и Ингодинскую впадины. Перекрыты они мощным чехлом четвертичных наносов. Коренные выходы их наблюдаются редко и лишь в уступах речных террас и в крутых бортах долин.

Залегая несогласно на всех более древних образованиях, верхнеюрско-нижнемеловые породы в свою очередь в нескольких километрах от южной рамки листа перекрываются третичными эфузивами основного состава.

Мощность описываемых отложений (по данным вертикального

электрического зондирования) сильно колеблется, полный разрез неизвестен.

В Беклемишевской впадине верхнеюрско-нижнемеловые образования имеют мощность от 300 до 1300 м (рис. I).

Базальные горизонты, наблюдаемые вдоль обеих бортов впадины представлены валунно-галечными конгломератами и грубозернистыми песчаниками. Мощность конгломератов сильно меняется. По данным гравиразведки и ВЗЗ она колеблется от 500 до 1000 м.

Наибольшая мощность горизонта конгломератов отмечена восточнее оз.Иргенъ; в юго-западном направлении (к центральной части впадины) она постепенно уменьшается.

Породы базальных горизонтов имеют характерный желтовато-красный цвет. Обломочный материал в них слабо или совсем не окатан, состав его зависит от состава пород, слагающих горные обрамления котловин. Сортировка материала и слоистость отсутствуют. Размер гальки и валунов от 8 до 20 см. Цемент конгломератов песчано-глинистый.

В районе Северного поля Иргенъского буроугольного месторождения глубина залегания пород фундамента, по данным ВЗЗ, составляет 1000 м.

Опорная скважина I70, пробуренная на этом участке, имеет глубину 432 м. Разрез отложений по скважине следующий (снизу вверх):

I. Средне- и крупнозернистый песчаник с прослойями конгломерата .....	58 м
2. Алевролит .....	8 "
3. Средне- и крупнозернистый песчаник .....	7 "
4. Конгломерат с прослойями песчаника и алевролита .....	II6 "
5. Средне- и крупнозернистый песчаник .....	33 "
6. Алевролит с прослойями песчаника .....	20 "
7. Средне- и крупнозернистый песчаник с прослойями алевролита .....	17 "
8. Уголь .....	2,0 "
9. Алевролит .....	3 "
10. Средне- и крупнозернистый песчаник .....	2,6 "
II. Уголь .....	0,4 "
12. Алевролит .....	9 "
13. Конгломерат .....	16 "
14. Уголь .....	4 "
15. Алевролит с прослойками песчаника .....	54 "
16. Средне- и крупнозернистый песчаник с прослойями алевролита .....	68 "

Рассматриваемые отложения характеризуются резкой фациальной изменчивостью. При площадном картировании удается все же выделить несколько пачек, имеющих определенное стратиграфическое значение.

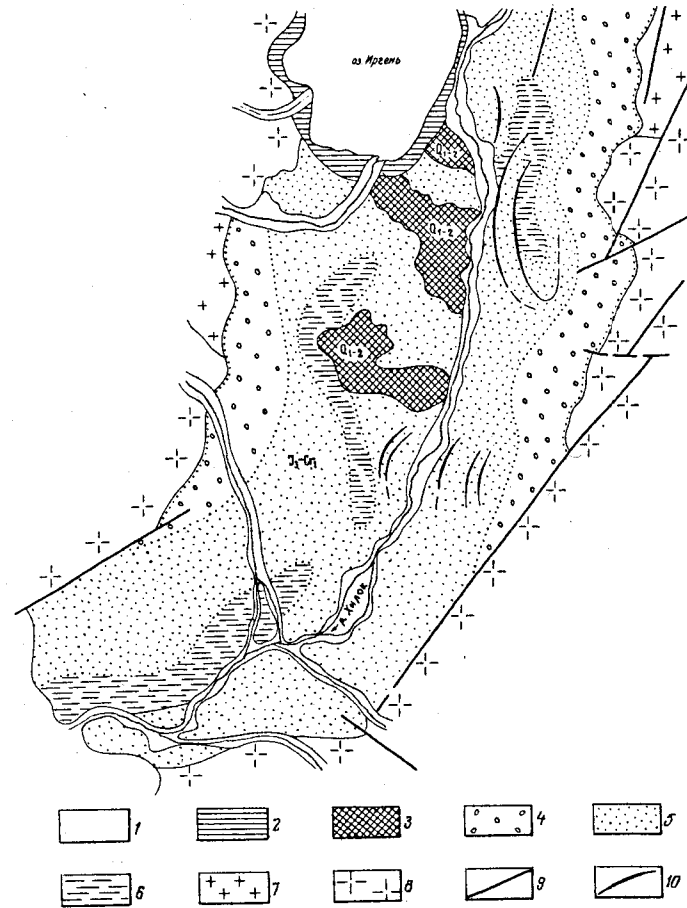


Рис. I. Геологическая карта юго-западной части  
Беклемишевской депрессии

I-3 - четвертичные отложения (I - отложения русел и пойм, 2 - озерные отложения, 3 - пески и суглинки высоких террас); 4-6 - верхнеюрско-нижнемеловые образования (4 - конгломераты, 5 - песчаники, 6 - алевролиты); 7-8 - породы фундамента (7 - граниты малханского интрузивного комплекса, 8 - граниты даурского интрузивного комплекса); 9 - тектонические нарушения; 10 - пласты угля

кое положение и определенный литологический состав.

Так, выше по разрезу конгломераты сменяются алевролито-песчаниковой пачкой видимой мощности до 130 м (в разрезе скв. I-70 горизонты 6-15). Наибольшее развитие здесь получили мелко- и крупнозернистые песчаники и алевролиты, реже встречаются галечные конгломераты. Последние образуют маломощные быстро выклинивающиеся прослои. Окатанность обломочного материала в этих конгломератах средняя, наблюдается сортировка. Размер гальки до 10 см, преобладает 2-6 см. Цемент конгломератов песчанистый, редко карбонатный. Песчаники этой пачки имеют косую слоистость, обусловленную ориентировкой обугленных растительных остатков, а также неравномерностью гранулометрического состава. Окраска песчаников серая и зеленовато-серая. В обломочном материале песчаников обычны граниты и продукты их разрушения. Структура пород псаммитовая, состав цемента глинистый и карбонатный.

Алевролиты серого, зеленовато-серого, темно-серого цвета. Слоистость горизонтальная или отсутствует вообще. Часто наблюдается тонкое переслаивание алевролитов с темными аргиллитами и светло-серыми мелкозернистыми песчаниками. Алевролиты содержат в своем составе песчанистый материал (иногда до 40%). Состоят они из бурого глинистого материала с примесью микрочешуйек биотита, серицита, углистого вещества, реже хлорита и зерен кварца. Структура пород алевролитовая или пелитовая.

К этой же пачке приурочены все промышленные угольные пласты. Угли черные, буровато-черные, матовые и полуматовые, штриховато-полосчатые с примесью флюзена. Они обычно плотные, хрупкие и трещиноватые с угловатым, реже раковистым изломом. Наиболее мощные (до 7,7 м) и выдержаные пласти угля отмечаются по левобережью р.Хилок в бассейне ключа Жилковшинский. На других участках мощность пластов значительно меньше и они быстро по падению выклиниваются, замещаясь песчаниками.

Выше описанной алевролито-песчаниковой пачки залегает алевролитовая пачка мощностью от 40 до 80 м. Сложена она плотными слюдистыми алевролитами. Прослои песчаников редки и, как правило, маломощны (до 1-1,5 м).

Разрез заканчивается песчаниковой пачкой (видимая мощность 40-70 м). Песчаники зеленовато-серого цвета с алевролитовым цементом. Очень редки и маломощны в этой пачке прослои алевроли-

тов (до 0,2-0,5 м).

Ингодинская впадина изучена значительно хуже по сравнению с Беклемишевской. Базальные горизонты здесь хорошо обнажены и представлены валунно-галечными конгломератами и дресвяниками. Широкая полоса развития их наблюдается вдоль северо-западных бортов впадины.

Верхние горизонты нижнемеловых отложений здесь вскрыты скв. I (северо-восточная окраина с.Бальзой), имеющей глубину 482 м. Разрез отложений по этой скважине следующий (снизу вверх):

1. Темно-серый песчанистый алевролит, тонкослоистый за счет прослоев мелкозернистого светло-серого песчаника мощностью до 1 см ..... 34,4 м
2. Гравийно-галечный конгломерат, сцементированный песчано-глинистым материалом, с прослойками алевролита и песчаника. Последний постепенно переходит в конгломерат ..... 56 "
3. Песчанистый алевролит с прослойками песчаника и мелкогалечного конгломерата ..... 34,5 "
4. Мелкогалечный конгломерат, сцементированый песчано-глинистым материалом, участками косослоистый (25-30° к горизонту по керну) ..... 4,4 "
5. Песчано-глинистые сланцы с прослойями мелкогалечного конгломерата и песчаника ..... 39,5 "
6. Тонкослоистые аргиллиты с прослойками песчаника, песчано-глинистого сланца и алевролита. В середине слоя обнаружена линзочка бурого угля до 7 мм мощностью ..... 70 "
7. Песчаники на карбонатном цементе с прослойками конгломерата ..... 4,5 "
8. Аргиллиты с прослойями песчанистого алевролита, песчано-глинистого сланца, песчаника с карбонатным цементом, мелкогалечного конгломерата, редко глины. Членование всех вышеперечисленных прослоев придает породе тонкослоистое строение. В верхней части слоя отмечается прослой бурого угля мощностью I-I,4 см ..... 78 "
9. Песчанистый алевролит с прослойми песка, глины, гравелита. Верхняя часть слоя (0,7 м) состоит из обломков алевролита, сцементированных глинистым материалом ..... 30 "

На протяжении всего разреза скважины породы в этой или иной степени обогащены обугленными растительными остатками.

Имеющийся материал свидетельствует о том, что к центру Ингодинской впадины происходит постепенная смена крупнообломочных фаций пролювиально-делювиального происхождения песчаными и глинистыми фациями мелководных бассейнов, а также значительное увеличение мощности последних в центре котловины.

Результаты спорово-пыльцевого анализа пород левобережья р.Ингоды, выполненного Л.Н.Гутовой (палинологическая лаборатория Иркутского геологического управления), приведены в табл. I (в %):

Таблица I

№ пп	2	Номера прослоев <sup>X</sup>						
		2	3	4	5	11	12	13
1	3	4	5	6	7	8	9	
Споры								
1	Lycopodium sp.	-	-	4,2	-	0,5	-	-
2	Selaginella sp.	1,0	-	0,8	-	-	-	0,5
3	Selaginella granata	-	0,5	0,2	-	-	-	-
4	Bolch	-	-	2,6	-	-	-	0,3
5	Egaisetum sp.	-	1,0	1,3	-	-	-	0,9
6	Cibotium sp.	-	1,5	5,8	-	-	-	0,1
	Coniopteris burejensis (Z a l.) serrward	-	-	-	-	-	-	-
7	Polypodiaceae sp.	-	2,5	1,0	-	-	-	-
8	Cheiropolenia sp.	0,5	-	2,9	-	-	-	-
9	Gleichenia loeta	-	-	-	-	-	-	-
	Bolch.	2,1	-	3,2	-	1,1	-	11,5
10	Leiotriletes cexus Bolch.	0,5	1,0	7,4	-	-	-	4,3
11	Leiotriletes perpusillus Bolch.	-	0,5	0,2	-	-	-	2,1
12	Leiotriletes subtillis Bolch.	-	-	0,5	-	-	-	-
13	Gleichenia delicata Bolch.	-	-	0,5	-	-	-	0,5
14	Leiotriletes sp.	1,0	-	2,4	-	0,5	-	3,0
15	Aneimia sp.	-	-	0,2	-	-	-	-
16	Lygodium sp.	-	0,5	-	-	0,5	-	-
17	Osmundacetes sp.	-	1,5	4,0	-	2,3	1,9	1,4
18	Osmunda sp.	-	-	6,6	-	-	-	1,0
19	Trachytriletes sp.	0,5	0,5	0,5	-	-	-	-
20	Camptoriletes sp.	-	0,5	-	-	-	-	1,4
21	Pterina sp.	-	-	0,2	-	0,5	-	-
22	Aletes sp.	2,1	-	1,6	2	3,5	1,9	0,3
23	Coniopteris cheteformis Bolch.	-	-	-	-	1,1	-	1,4
24	Lygodium subsimpliclex Bolch.	-	-	-	-	1,7	-	-
25	Trachytriletes ancolalis Bolch.	-	-	-	-	0,5	-	-
26	Zongtriletes sp.	-	-	-	-	0,5	-	-

1	2	3	4	5	6	7	8	9
Пыльца								
27	Bennettitales	1,0	-	0,5	-	-	-	-
28	Linkgoales sp.	1,6	1,5	1,8	1	-	1,9	4,1
29	Podocarpus sp.	3,2	1,2	1,8	-	6,9	1,9	6,7
30	Psophosphaera sp.	-	19,5	1,8	9	-	-	1,9
31	Araucariaceae	-	6,0	3,4	7	2,9	3,8	1,8
32	Picea sp.sp.	52,6	45,0	19,4	-	26,1	38,4	39,7
33	Abies sp.	8,5	-	-	-	2,3	1,9	0,1
34	Cerdus sp.	0,5	0,5	-	-	-	1,3	-
35	Pinus sp.	8,4	2,0	0,8	-	1,1	9,6	1,3
36	Coniferae	12,8	14,0	13,6	-	40,1	7,7	6,7
37	Pinaceae	-	-	-	-	2,9	3,8	-
38	Podozamites sp.	-	-	-	-	-	1,9	-
39	Cycadales	-	-	-	-	-	-	1,8
40	Psophosphaerae co- rriaeca Naum	-	-	-	-	2,3	17,3	-

По мнению Л.Н.Гутовой, отложения, охарактеризованные табл. I, можно датировать как переходные между верхней юрой и нижним мелом.

В пробах из скв. I (окрестности с.Бальзой) А.А.Сиротенко (палинологическая лаборатория ЧГУ) выделен богатый спорово-пыльцевой комплекс, характеризующий верхнеюрско-нижнемеловую флору с элементами типично меловых растений. Среди последних особо важное значение имеют споры папоротников семейства Schizaeaceae, Aneimia Morbia, которые не встречаются ниже низов нижнего мела.

В террасе р.Малый Улентуй в древнечетвертичных отложениях был обнаружен обломок солитового известняка с фауной Galba cf. obrutschewi Reiss., Galba sp. indet., которая, по заключению Ч.М.Колесникова (лаборатория геология угля АН СССР), характеризует нижний мел (валанжин-готерив).

В алевролитах левобережья р.Ингоды ниже с.Хадакта Ч.М.Колесниковым обнаружены Viviparus cf. robustus Mart., Ginkgo sibirica Негег., из которых первая форма характерна для нижнего мела (валанжинского яруса).

<sup>x</sup> Пробы № 2, 3, 4, 5 - расчистки в обрыве террасы р.Ингоды западнее с.Черемхово; пробы № II, I2 - левый склон долины р.Алдандой; прока № I3 - расчистка берегового обрыва оз.Большое.

В 1958 г. Ч.М.Колесниковым из алевролитов Беклемишевской депрессии определен следующий комплекс пресноводных моллюсков: Limnocyrena transbaicalica Mart., Limnocyrena selengensis Mart., L. cf. piscinalis Reiss., Valvata piscinalis Müll., Galba obrutschewi Reiss., Probaicalia vitimensis Mart., Hygrobia lacustris Mart., Gyraulus sp. Planorbis sp. (скв. I55, пройденная в оз.Иргень, глубина 124 и 165 м), Limnocyrena cf. wiljuica Mart. (скв. I67, глубина 34 м). Этот комплекс моллюсков также характерен для нижних горизонтов нижнего мела - валанжинского и готеривского ярусов.

#### ЧЕТВЕРТИЧНАЯ СИСТЕМА

Отложения четвертичного возраста на исследованной территории имеют широкое распространение.

Преобладающими генетическими типами в этой группе являются элювиальные, делювиальные и особенно аллювиальные отложения<sup>x</sup>.

Имеющиеся данные позволяют произвести расчленение четвертичных отложений на древнечетвертичные и современные четвертичные образования.

Среди древнечетвертичных образований выделяются: нерасчлененные отложения нижнего - среднего отделов и отложения верхнего отдела.

#### НИЖНИЙ - СРЕДНИЙ ОТДЕЛ (Q<sub>1+2</sub>)

К нижнему и среднему отделу относятся образования третьих и более высоких речных террас района. Отложения представлены песком, суглинком с гравием, галькой и реже валунами. Мощность отложений достигает 3-4 м.

На левобережье р.Ингоде (от нижнего течения р.Верхняя Черемхова до среднего течения р.Малая Сестреница) отмечаются

<sup>x</sup> В основу делений четвертичных отложений положена генетическая классификация С.А.Яковлева.

маломощные (0,6-1,0 м) аллювиальные отложения, аналогичные описанным для третьей террасы. Эти образования принадлежат более высоким террасам, в настоящее время сильно размытым. Более полно разрез высокой террасы описан по р.Хилок (сверху вниз):

1. Почвенно-растительный слой .....	0,1 м
2. Крупногалечный и мелковалунный материал, сцепментированный супесью кирпичного цвета .....	1,9 "
3. Гравий с линзами мелкозернистого песка .....	0,2 "
4. Галечник .....	0,9 "
5. Темно-серая глина с линзами крупногалечного материала .....	0,5 "
6. Переслаивание разнозернистого и среднезернистого песка .....	до 1,0 "
7. Песчанистая глина с прослойками и линзами разнозернистого песка .....	3,4 "
8. Суглинок и супесь с галькой диаметром до 6 см .....	2,5 "
9. Чередование прослоев разнозернистого песка и глины .....	14 "

Общая мощность отложений 24,5 м.

Аналогичные отложения вскрыты скважинами в районе левобережья р.Хилкекен и оз.Хутыл-Нор.

На правобережье р.Ингода образования этой группы представлены исключительно песком с редким гравием и галькой. Пески как правило неслоистые. Мелкозернистый песок верхней части разреза сменяется через среднезернистый крупнозернистым песком в низах разреза. Мощность отложений песка колебается от 1 до 1,5 м (в предгорьях), до 10-12 м в депрессии. Минералогический состав песка кварц (50%), полевой шпат (43-45%), биотит, мусковит, амфибол, пироксен, лимонит и турмалин 5-7%.

Древнечетвертичный возраст описанных отложений датируется на том основании, что данные образования залегают гипсометрически выше фаунистически охарактеризованных образований вторых террас. В районе с.Чунгурук (в 4-5 км к юго-западу от территории листа) в отложениях третьей террасы найден бивень мамонта плохой сохранности.

### ВЕРХНИЙ ОТДЕЛ ( $Q_3$ )

Отложения верхнего отдела занимают большие площади в долине р.Ингода, и незначительным развитием пользуются в долине р.Хилок, слагая вторые надпойменные террасы высотой до 8 м. Террасы сложены смешанным материалом, состоящим из песка,

суглинка, гравия и гальки. В песках наблюдается грубая слоистость, выраженная в чередовании слоев гравия, песка и суглинка (с.Черемхово). Мощность отложений от 1 до 8 м.

Данные о возрасте отложений вторых террас основаны на находках фауны в соседних районах. На территории листа М-49-Х вблизи устья р.Бутыкена в суглинках второй террасы обнаружены зубы мамонта юрмского времени (Н.А.Флоренсов, 1940 г.), в пределах Черновского бороугольного месторождения в аналогичных отложениях Ф.Ф.Оттен и В.А.Плотниковым в 1939 г. найден чешуйчатый позвонок носорога, принадлежащий роду *Rinoceras tichorinus* плейстоценового времени.

Вышеуказанные находки позволяют заключить, что образования вторых террас рек района относятся к верхнему отделу древнечетвертичных отложений.

### СОВРЕМЕННЫЙ ОТДЕЛ

Отложения современного отдела очень разнообразны. По генезису они подразделяются на четыре группы с выделением внутри каждой нескольких типов отложений, что отражено в табл.2.

Таблица 2

Группа	Тип	Фации и отложения
Водная	Аллювиальный	Русловая (валуны, галька, гравий, песок), пойменная (песок, суглинок с гравием и галькой)
	Пролювиальный	Глыбово-щебенчатый материал, песок, суглинок, ил
	Делювиальный	Глыбовые россыпи, щебень, дресва, песок, суглинок
	Озерный	Терригенные, химические и органические осадки
	Элювиальный	Глыбовые россыпи, щебень, дресва, суглинок
	Коллювиальный	Осыпи, щебень, дресва, суглинок
	Оползневые	Оползневые отложения
	Солифлюкционный	Глыбовые и щебенчато-суглинистые отложения
Субаэральная	Аэроально-эоловый	Эоловые пески
	Органическая	Перегной с остатками растительности

Водная группа. Аллювиальный тип. Здесь различаются отложения первых надпойменных террас, русел и пойм. Первые надпойменные террасы занимают иногда значительные площади в пределах депрессий. Особенно крупные участки (до 10–15 км<sup>2</sup>) отмечаются на левобережье р.Ингода. Интенсивная заболоченность поверхностей террас не всегда позволяет выяснить характер отложений. Чаще они состоят из двух горизонтов: верхнего (супесь или суглинок) и нижнего (галка, гравий с примесью песка). Мощность горизонтов от 0,5 до 2–3 м.

Возраст определен на основании спор и пыльцы из отложений первой надпойменной террасы р.Ингода (территория листа М-49-Х), а также на основании находки стоянки древнего человека, относящейся к раннему неолиту.

Комплекс спор и пыльцы обычен для пойменных долин и отвечает раннему голоцену Восточно-Сибирской провинции (по М.И.Нейштадту). Неолитическая стоянка обнаружена на первой надпойменной террасе р.Хилок, в 1,5–1,7 км к северо-западу от с.Иргенъ. Мощность культурного слоя не определена. Однако среди каменных орудий исаковского и серовского этапов (IV–III тысячелетие до н.э.) встречены орудия бронзового века. Определения произведены доцентом Читинского пединститута М.И.Рижским.

В геологическом отношении возраст первой террасы р.Хилок соответствует началу послеледниковой эпохи, т.е. раннему голоцену.

Аллювиальные отложения русел и пойм наблюдались по всем рекам описываемой территории. Русловые образования представлены в основном валунами, галькой, гравием с небольшой примесью песка и ила. Отложения пойм состоят преимущественно из тонко-песчаного, супесчаного или суглинистого материала с незначительной примесью гравия и гальки.

В пределах Беклемишевской депрессии (рис.2) выделены нерасчлененные аллювиальные отложения. По данным бурения они имеют разнообразный литологический состав: песок с галькой (диаметр от 3 до 5 см), гравий, разнозернистый песок, суглинок и супесь, реже глина, дресва. Максимальная мощность их равна 29 м, но обычно изменяется в пределах 15–24 м. Древние отложения русел зафиксированы в районе курорта Кука, где по данным бурения мощность четвертичных образований достигает 20 м. В пределах Ингодинской депрессии мощность этих отложений неизвестна.

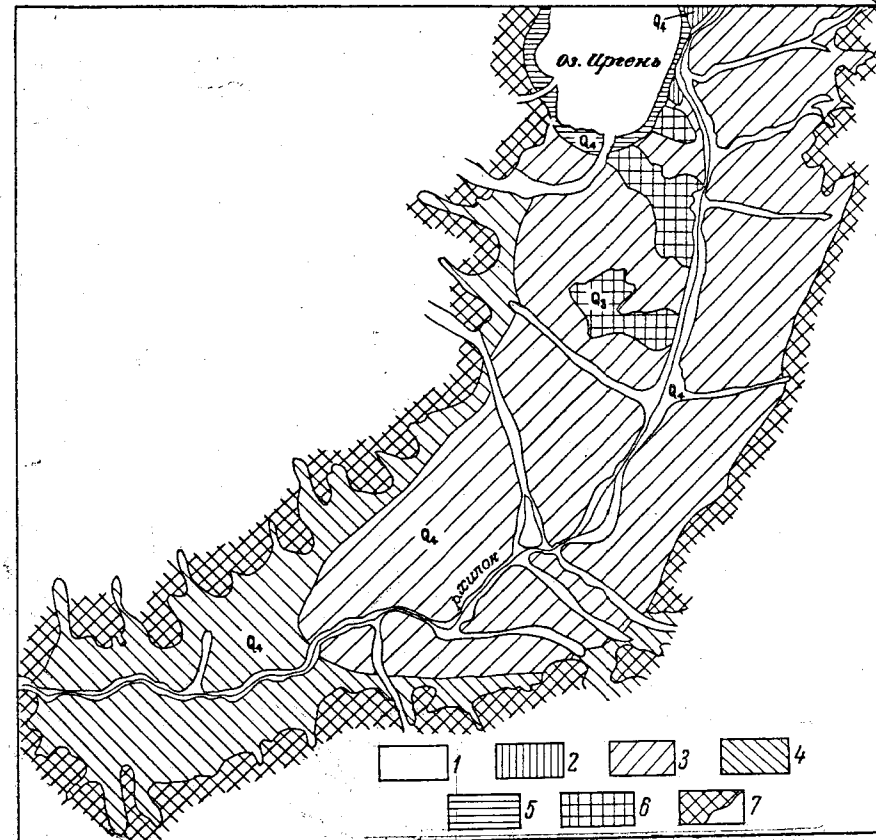


Рис.2. Схематическая карта четвертичных отложений юго-западной части Беклемишевской депрессии

1 – отложения русел и пойм, 2 – аллювиальные отложения первой надпойменной террасы, 3 – озерно-аллювиальные отложения 4 – органогенные отложения, 5 – отложения озерных террас, 6 – отложения третьей надпойменной террасы, 7 – магматические породы

Пролювиальные отложения встречаются в предгорных частях территории (долины рек Большая, Арта, Жиркоша и др.). Отлагается материал в виде конусов с пологой поверхностью, постепенно переходящей в равнину. Сложены конусы выноса глыбово-щебенистым материалом с примесью песка, суглинка и ила. Отложения пролювия часто смешиваются с делювиальными и аллювиальными отложениями. Размеры конусов выноса колеблются в пределах от 10 x 15 до 100 x 300м (падь Жиркоша).

Делювиальные отложения имеют ограниченное распространение. Делювий покрывает склоны речных долин и возвышенностей, часто сливаясь с элювием. У подножья материала щебенчато-суглинистый, в верхней части склона глыбовый.

Наибольшая мощность отложений (3-5 м) наблюдается на вогнутых склонах северной экспозиции в пределах развития изверженных пород (северо-западный склон Яблоновского хребта). На крутых (выпуклых) склонах южной экспозиции она составляет 0,3-3 м. Характер отложений зависит от состава и особенностей разрушаемых пород. Конгломераты при разрушении дают галечниковый делювий, песчаниково-сланцевые породы (бассейн рек Муморты и Богдарина и др.) образуют песчано-суглинисто-щебенчатый, а изверженные породы - глыбово-щебенчатый делювий.

Озерные отложения имеют ограниченное распространение. Сюда относятся терригенные и химогенные образования реликтовых и провальных озер, встречающихся в пределах озерно-аллювиальных депрессий.

На юго-западном берегу оз. Иргень наблюдается терраса, сложенная (сверху вниз):

1. Почвенно-растительный слой .....	0,4 м
2. Галька, сцементированная супесью кирпичного цвета .....	0,4 "
3. Разнозернистый песок без видимой слоистости с галькой диаметром до 4,5 см. Преобладает галька размером 2-3 см .....	3,6 "

Разрез первого берегового вала оз. Малое Гужирное представлен следующими отложениями (сверху вниз):

1. Почвенно-растительный слой с галькой различных пород .....	0,4 м
2. Галечный материал, сцементированный разнозернистым песком .....	0,5 "
3. Крупногалечный материал с вышеупомянутой цементирующей массой .....	0,3 "

4. Ил с примесью разнозернистого песка. Ил обогащен органическими остатками, придающими породе черный цвет. Встречаются линзы и карманы, выполненные галькой размером до 3 см ..... 1,0 м

5. Крупногалечный материал, сцементированный песком ..... 1,5 " В основании разреза встречен прослой сильно песчаной глины.

На дне озер наблюдается слой илистого материала. По данному бурению в оз. Иргень мощность слоя ила достигает 6,4 м; ниже ил сменяется песком. Отложения озер провального типа (район с. Бальзой), образованных в результате прорывов и таяния ледяных ядер гидролакколитов, представлены переотложенными рыхлыми образованиями (глинами, илами с примесью обломочного материала).

Возраст озерных образований определяется на основании находки в них спор и пыльцы. В отложениях валов озер Иргень, Малое и Большое Гужирное преобладает пыльцевой комплекс, в основном березы (*Betula*, *Carulus*) и лиственница. Пыльца кустарников и трав немногочисленна и представлена ефедрой, можжевельником, различными *Composital*, *Chenopodiaceae*, *Gramineal*. Споры единичны и относятся к двум группам: хмам и папоротникам *Polyodiaceae*. По заключению А.А. Сиротенко (палеонтологическая лаборатория ЧГУ), приведенный список растений близок к современному составу флоры и характерен для четвертичного периода исследуемого района.

Элювиальная группа. Элювиальные отложения распространены на возвышенных участках со слабо развитым почвенно-растительным покровом. Они отображают состав и свойства разрушенных материнских пород. Так, для гранитоидов характерны глыбовыеrossыши, для осадочных пород - щебенчато-суглинистые образования. Мощность элювия колеблется в пределах 2,5-4 м.

Гравитационная группа. Коллювиальные отложения формируются на склонах долин и возвышенностей. Среди них различаются две фации: осипные и обваловые образования.

Осипные образования наблюдаются обычно на склонах южной экспозиции (долины рек Большая, Тарат, Делон и др.), где образуют глыбово-щебенчатые осипы от места выходов коренных пород до основания склона. Верхние части осипных образований иногда имеют обвальный характер. Наблюдаются они лишь вблизи скальных-

останцов выветривания (левые склоны долин рек Большая, Арта, Средняя Улетка, Крайняя Улетка, Санга и др.) и представляют собой крупноглыбовые нагромождения.

У подножий материалов мелкоглыбовый, щебенчато-древесный и даже суглинистый.

Оползневые отложения наблюдаются в пределах развития террас. Оползни (иногда с разрывом сплошности земляных масс) отмечаются на террасах р.Ингода в устье рек Хадакта, Жимыхыр и др.

В районе с.Хадакта отмечено оползание почвенного и песчано-глинистого материала по глинистому субстрату. Оползает верхняя часть террасовых отложений мощностью 0,4-0,6 м. Северо-восточнее с.Черемхово отмечается более крупный оползень, захватывающий отложения второй террасы.

Солифлюкционные отложения развиты на участках многолетней мерзлоты (долины рек Тарат, Чилчи-гир, Делюн и др.).

Под действием солифлюкции формируются нагорные террасы, оплывины, валы. Чаще всего они наблюдаются на склонах северной экспозиции. Отложения представлены крупноглыбовым и щебенчато-суглинистым материалом.

Субаэральная группа представлена закрепленными эоловыми песками, развитыми по правобережью р.Ингода. Пески бледно-желтого цвета, кварц-полевошпатового состава, тонкозернистые, лишенные слоистости.

Органическая группа представлена образованиями торфяного типа. Они встречаются в долинах рек и в болотах. В местах, где возникают условия избыточного увлажнения и застоя поверхностных вод, образования представлены перегноем с растительными остатками. Мощность этих отложений незначительна по сравнению с четвертичными образованиями других генетических групп.

### ИНТРУЗИВНЫЕ ОБРАЗОВАНИЯ

Извещенные породы занимают около 60% площади района. Наиболее широко они развиты в центральной и южной частях территории листа, где большие интрузии глубинных и гипабиссальных магматических пород палеозойского и мезозойского возраста слагают основную часть водораздельных хребтов. На севере района

значительные площади занимают также эфузивные образования пермо-триасового возраста.

Среди магматических пород выделяются следующие интрузивные комплексы: малханский, верхнеингодинский, даурский и малокуналейский, формирование которых связано с каледонским, варисским и киммерийским тектономагматическими циклонами.

Схема магматизма для района верхнего течения р.Хилок и среднего течения р.Ингода представлена в табл.3.

### МАЛХАНСКИЙ ИНТРУЗИВНЫЙ КОМПЛЕКС (г Рz<sub>1</sub>)

К древнему интрузивному комплексу относится крупная интрузия гнейсовидных биотитовых и биотит-амфиболовых гранитов Яблонового антиклиниория, занимающая в пределах листа площадь около 900 км<sup>2</sup>.

Гранитный pluton вытянут в северо-восточном направлении через всю площадь работ и прослеживается далеко на юго-запад, за пределы описываемой территории, где его изучали Н.А.Флоренсов, Т.Т.Деуля и С.Н.Криволапов, Ю.П.Деньгин и другие исследователи.

Крупные ксенолиты древних гранитоидов (от 16 до 36 км<sup>2</sup>) выделены на площади развития пород даурского интрузивного комплекса (междуречье рек Барун-Кука и Зун-Кука, Хорой и Ближнего Рушмалей, верховья р.Хуба).

В бассейнах рек Арта, Алданной, Улетка граниты малханского интрузивного комплекса прорывают слоистокристаллические породы верхнего протерозоя и в свою очередь перекрываются в верховьях р.Улетка флористически охарактеризованными отложениями ортинской свиты нижнего карбона. Значительная роль среди пород данного комплекса принадлежит образованиям дайковой серии. Жильные дайки, представленные пегматитами и аплитами, наиболее проявлены в краевых частях интрузии и в толще инъекционных гнейсов. Они образуют выдержаные тела, простирающиеся от северо-западного до северо-восточного. Протяженность их от первых метров до 100 м при мощности до 5-6 м; контакты их с вмещающими породами резкие, крутопадающие.

Для гранитоидов интрузии характерна гнейсовидная текстура и протокластическая структура, свидетельствующие о большой глубине образования пород, о механической активности маг-

Таблица 3

Этапы разви- тия интрузии	Возраст	Глубокие интрузии	Мелкие образования и суб- вулканические тела	Характер тектонических движений	
Суплактор- менингий	Верхний яра (J <sub>3</sub> )	Фельзиты и кварце- вые порфиры	Аplitы, аplitовид- ные граниты, гре- нист-порфирь, квар- цевые порфирь	Покровы кварце- вых, кварц-аль- биносодержащих пород, туфолов, левобережий	Дальнейшее развитие и формирование грабенов на фоне общего поднятия района дифференцирован- ных движений, дальнейшее разложение гнейсовых разломов и возникновение траверзирующих бассей- нов осадконакопления
	Триас до ниж- ней юр. (T - J <sub>1</sub> )		Плагиопорфриты, сланцы- и трансси- енист-порфирь		Интенсивная складчатость на границе среднего и верхнего палеозоя, даль- няя, заложенная структура рам- ка, заложение глубоких разломов, замыкание гео- синклиниали
	Верхнеигодинский комп- лекс (J <sub>2</sub> -S <sub>1</sub> )		I этап: лейкокра- тонные граниты, пег- матиты. II этап: микромониты, до- рикитовые порфириты		Краевое поднятие в област- и средненеволгогорской гео- синклиниали, заложение расколов
	Средний палео- зой (P <sub>2</sub> -P <sub>3</sub> )	Верхний три- перь - три- ас (P <sub>2</sub> - T) Средний палео- зой - верхний палеозой (P <sub>2</sub> -P <sub>3</sub> )	Верхнеигодинский комп- лекс (J <sub>2</sub> -S <sub>1</sub> ) - што- кообразные интрузии ос- новного состава; дунайский комплекс (J <sub>2</sub> -S <sub>1</sub> ) - крупный плу- тон гранитов и грано- диоритов	Аплиты, аplitовид- ные граниты, пегма- титы	Андезитовые пор- фириты, местные сифузы
	Низкий палео- зой (P <sub>3</sub> -P <sub>2</sub> )		Малханский комплекс (Ч-Ч <sub>1</sub> ) крупный син- тетический плюотон гней- совидных гранитов и гранодиоритов	Кислые эффузивы	Складчатость на границе - ниж- него палеозоя. Перекол ма- сивного прогресса - ник- симинским промыслом гео- синклиниали сменяется общи- ми восходящими движениями

мы и внедрении ее в период интенсивных орогенических движений, продолжавшихся и после становления интрузии. В эндоконтактовой зоне гнейсовидность выражена наиболее четко, а в центральных частях массива - значительно слабее. Наряду с этим в гранитах проявлены первичная полосатость, ориентированная согласно сланцеватости вмещающих пород и характеризующаяся линейным чередованием лейкократовых и меланократовых полос.

В зонах контакта интрузии характерна инъекция гранитного материала во вмещающие породы с образованием зоны инъекционных гнейсов (бассейны рек Арта, Алданной и др.). Широкое развитие получили процессы катаклаза, а местами и милонитизации гранитов. Такие милонитизированные породы фиксируют положение линий разломов северо-восточного и близкого к широтному простианию (левобережье р. Ингода).

В составе интрузии выделяется фация центральных частей, объединяющая в себе мелкозернистые биотитовые и биотит-амфиболовые граниты (γ) и гибридная краевая фация, представленная гранодиоритами (γδ), иногда неравномернозернистого сложения. На долю гранитов фации центральных частей приходится около 85% всех пород интрузии. Гранодиориты развиты в эндоконтактовой зоне и пространственно тяготеют к отдельным ксенолитам и полям развития пород верхнего протерозоя (юго-восточные склоны Яблонового хребта).

Выделенные разновидности магматических пород связаны между собой постепенными взаимопереходами, которые фиксируются уменьшением содержания в гранитах эндоконтакта кварца и увеличением роговой обманки и биотита. Цвет гранитов большей частью светло-серый, гранодиоритов - темно-серый со слабо-зеленоватым оттенком.

Структуры пород гранитные, иногда аллотриоморфозернистые с элементами пегматоидной и пойкилитовой. Минералогический состав гранитов довольно постоянен и соответствует нормальному граниту. Главными пордообразующими минералами являются: кварц (25%), калиевый полевой шпат (37%), плагиоклаз (олигоклаз № 26, в гранодиоритах до андезина № 30-31) 34%, роговая обманка, биотит (4-8%). В расположении чешуек биотита, роговой обманки, а также кварца и полевого шпата наблюдается параллельно-линейная ориентировка зерен, обусловливающая гнейсовидный облик пород.

Среднее содержание темноцветной части породы около 7-10%.

В меланократовых полосах количество цветных минералов возрастает до 25%, а количество кварца наряду с этим снижается до 5%. Из акцессорных минералов присутствуют апатит, циркон, сфен, гранат, рудный минерал. Процессы вторичного изменения проявлены в образовании хлорита и эпидота по биотиту и роговой обманке, серицита по левому шпату.

Все породы интрузии в большей или меньшей степени катализированы, что находит свое отражение в волнисто-мозаичном угасании кварца, полевых шпатов и в изменении структуры гранитоидов вплоть до полной милонитизации и образования сланцевых милонитов.

При сравнении имеющихся результатов анализов гранитов со средними составами магматических пород Дэли отмечается колебание в составе изученных пород от гранита до гранодиорита и тоналита. Гнейсовидные граниты характеризуются пересыщенностю глиноземом, преобладанием натрия над калием, обеднением магния.

Спектральным анализом отмечены следующие элементы: марганец, медь, ванадий, галлий, цирконий, свинец, хром, цинк, бериллий. Наиболее высокое содержание характерно для марганца (0,03-0,05%), меди (0,003-0,01%). Остальные элементы зафиксированы в тысячных долях процента.

Нижнепалеозойский возраст пород малханского интрузивного комплекса принимается на том основании, что граниты древней интрузии прорывают и метаморфизуют породы верхнего протерозоя и содержат их ксенолиты. В свою очередь граниты прорываются всеми последующими интрузиями. В верхнем течении р. Улетка (Яблоновый хребет) на разgneйсовых гранитах залегают конгломераты и арковые песчаники ортинской свиты нижнего карбона, чем и определяется верхняя возрастная граница интрузии. Аналогичный возраст для этих гранитов принимался и предыдущими исследователями для рассматриваемого и смежных районов (Н.А.Флоренсов и др., 1941 г.; А.А.Арсеньев и Е.А.Нечаева, 1951; Деньгин, 1954 г.; Щеглов, 1956 г.; Фельдман, 1958).

#### КАМЕННОУГОЛЬНЫЕ ИНТРУЗИИ

Интрузии каменноугольного возраста, представленные разнообразными по петрографическому составу породами, занимают в

пределах описываемой территории площадь около 2000 км<sup>2</sup>. Сюда входят габбро, габбро-диориты, диориты (верхнеингодинский комплекс) и граниты, гранодиориты, кварцевые диориты, диориты (даурский комплекс). Катализированные разности фиксируются в зонах разрывных нарушений, имеющих в основном северо-западное простирание.

Такое разнообразие состава интрузий обусловлено, с одной стороны, процессами дифференциации магмы на глубине, с другой - явлениями ассимиляции пород кровли, в частности, палеозойских отложений ортинской свиты.

Гранитоиды даурского комплекса пользуются широким развитием на северо-западных склонах хребтов Яблонового и Черского, где они приурочиваются к крыльям одноименных антиклинальных структур.

Форма тел каменноугольных интрузий разнообразна: от небольших массивов размером 2 x 1,4 км до громадного гранитного плутона площадью (в пределах территории листа) в 1100-1200 км<sup>2</sup>. Жильные породы формировались в два этапа и представлены дайками и жилами кислого и среднего состава, генетически связанными с гранитоидами даурского комплекса. Возраст интрузий обусловлен активным контактом гранитов с интенсивно дислоцированными отложениями нижнего карбона (верховья рек Улетки, Гуйлона, Санги) и налеганием в северной части листа на эти же граниты эффузивных пород пермо-триасового возраста.

#### ВЕРХНЕИНГОДИНСКИЙ ИНТРУЗИВНЫЙ КОМПЛЕКС (45 С)

К этому комплексу отнесены габбро, горнблендиты, габбро-диориты и диориты, связанные между собой взаимопереходами и слагающими в верховых р. Кислый Ключ небольшой массив. К северу и западу от этого массива (район р. Зун-Кука и г. Гонгота) встречаются более крупные (до 3 км<sup>2</sup>) выходы габброидов, являющиеся ксенолитами среди гранитов даурского комплекса. Такие же породы основного состава встречены в дайках мощностью до 75 м северо-восточного (или близкого к широтному) простирания на левобережье р. Домно среди гранитоидов малханского комплекса.

Массивы и ксенолиты габброидов обнаруживают зональное строение: центральные части сложены массивным крупнозернистым

амфиболовым габбро и горнблендитом с вкрапленностью титаномагнетита. К периферии габбро постепенно сменяется габбро-диоритом, а последний в свою очередь – диоритом. В зоне эндоконтакта основных пород с вмещающими гранитами малхансского комплекса габроиды обладают отчетливой параллельно-линейной текстурой и мелкозернистым строением, которое при переходе к центральным частям тел сменяется на среднезернистое, а затем – на крупнозернистое. В габроидах в непосредственном контакте с гранитами даурского комплекса плагиоклаз, пироксен, роговая обманка распадаются на мелкозернистый агрегат и замещаются актинолитом, хлоритом, эпидотом и цоизитом. Основность плагиоклаза по сравнению с таковой из центральной части массива понижается до андезин-лабрадора № 48–50, а в альбитизированных зернах – до андезина № 36.

Структурно-текстурные особенности, как и внешний облик, для всех вышеуказанных разновидностей весьма постоянны.

Породы в свежем виде чаще всего темно-зеленого цвета. Вследствие развития процессов хлоритизации, эпидотизации, каолинизации, окраска изменяется на светло-зеленую и буроватую.

Преобладающей разновидностью среди пород ингодинского комплекса является амфиболовое габбро и горнблендит; резко подчиненным развитием пользуются оливиновое габбро. Габбро состоит из изометрических зерен серого, синевато-серого полевого шпата, зеленовато-серых выделений роговой обманки и пироксена. Размер первых до 0,6 x 1,0 см, вторых 1,8 x 4,0 см.

Габбро-диориты и диориты отличаются от собственно габбро лишь несколько иным минералогическим составом и соотношением темноцветных и салических минералов в породе.

Средний минеральный состав пород верхнеингодинского интрузивного комплекса (в %) приведен в табл. 4.

Таблица 4

Название породы	Структура породы	Породообразующие минералы и их процентное содержание в породе						
		Кварц	Плагиоклаз	Пироксен	Роговая обманка	Биотит	Оlivин	Аксессории
Амфиболовое габбро	Габбровая с отклонением к офитовой	-	57	-	37	-	-	6
Оливиновое габбро	Габбровая	-	55	38	-	-	5	2
Горнблендит	Панидиоморфнозернистая	-	-	-	98	-	-	2
Габбро-диорит	Габбро-офиотовая до гипидиоморфнозернистой	-	52	-	38	5-6	-	5
Диорит	Гипидиоморфнозернистая	4-5	65	-	-	34	-	I

Полевой шпат в габроидах соответствует лабрадору № 60 или лабрадор-битовиту № 68. Роговая обманка в проходящем свете травяно-зеленого цвета с отчетливым плеохроизмом: от желтовато-зеленого по Nr до бледно-зеленого цвета по Ng. Угол погасания С: Ng = 18°, 2 - +80°. В оливиновом габбро пироксен бледно-зеленоватого цвета, диопсидгеденбергитового ряда с углом погасания С: Ng = 38-40°. Для габбро-диоритов и диоритов характерно появление в их составе кварца и биотита, замещение моноклинных пироксенов роговой обманкой, понижение основности плагиоклаза от андезин-лабрадора № 48-50 до андезина № 32 (в диоритах), альбитизация полевых шпатов, снижение содержания рудного минерала до 1% (в габбро 5%).

Из акессорных минералов, кроме рудного, присутствуют апатит и сфен.

При петрохимическом сравнении габроидов со средним составом габбро (по Дэли) устанавливается обедненность рассматриваемых основных пород щелочными алюмосиликатами, преобладание железа над магнием, недосыщенность породы кремнеземом. Высокая величина коэффициента  $n$  указывает на присутствие в

породе плагиоклазов, а отношение а : с - на их основной состав. Горнблендиты отличаются обеднением аортитовой составляющей плагиоклазов, обогащением темноцветными минералами и преобладанием магния над железом.

Спектральным анализом основных пород обнаружены следующие элементы: ванадий, марганец, хром, кобальт, никель, медь, цинк, галий, свинец, бериллий, цирконий. Содержание первых двух не превышает 0,01-0,03%, остальных тысячных долей процента.

Основные породы по времени своего образования являются более ранними, чем гранитоиды даурского интрузивного комплекса, так как они прорывают (верховья р. Кислый Ключ) и содержат в ксенолитах (гора Гонгота) породы малханского комплекса ( $\Gamma_{Pz_1}$ ) и в свою очередь сами являются ксенолитами в границах даурского комплекса. В районе горы Гонготы крупные алофизы и жили этих гранитов наблюдаются внутри габбрового тела.

#### ДАУРСКИЙ КОМПЛЕКС ( $\Gamma_C$ )

К образованию даурского комплекса относится громадный гранитный pluton неправильной формы, занимающий центральную часть листа и прослеживаемый далее в юго-западном и северо-восточном направлениях. В пределах Осинового и Черского хребтов интрузия в значительной степени перекрывается эфузивными породами пермо-триасового и юрского возраста. Ряд мелких шточкообразных тел этих гранитов отмечается среди пород малханского интрузивного комплекса на южных склонах Яблонового хребта.

Для гранитного plutона характерна извилистая, бухтообразная линия контакта, обусловленная с одной стороны неровной поверхностью интрузии, с другой - неглубоким эрозионным срезом.

В эндоконтакте гранитоиды обладают мелкозернистым строением и не всегда четко выраженной параллельно-линейной текстурой, характеризующейся ориентированным расположением темноцветных минералов, шлирами биотита, табличками полевых шпатов (правобережье р. Шебартуй). В единичных случаях фиксируются первично полосатые текстуры, обусловленные послойным чередованием полевошпатовых и кварц-полевошпатовых полос.

Воздействие гранитной магмы на вмещающие породы четко фиксируются среди отложений ортинской свиты в виде процессов ороговикования, тримолитизации, инъектирования. В зоне эндоконтакта интрузии образуются гибридные породы более основного состава с характерным развитием процессов альбитизации, привноса кремнезема, калиевого метасоматоза.

Примером нормального гибридизма является воздействие кислой магмы на основные породы верхнеингодинского интрузивного комплекса. Так, в районе горы Гонгота в гранитах из зоны контакта с габброидами отмечаются реликты габбро-диоритовой структуры и пойкилитовые включения лабрадора № 60-62 в олигоклазе № 25-27.

По составу и условиям образования внутри интрузии выделяются: фация центральных и фация краевых частей интрузива. Во втором случае наблюдаются четко выраженные процессы гибридизма и метасоматоза.

Фация центральных частей представлена нормальными биотитовыми и биотит-амфиболовыми гранитами ( $\Gamma$ ); краевая фация - породами гранодиоритового и диоритового состава ( $\Gamma \delta$ ).

Выделенные разности пород связаны между собой тесными переходами и являются производными единой материнской магмы. Переходы сопровождаются изменениями в структуре и составе. Так, среди средне- и крупнозернистой массы гранитов при движении от центральных частей массива к краевым постепенно увеличивается содержание порфировидных выделений полевого шпата с пойкилитовыми включениями плагиоклаза, биотита, роговой обманки. Доминирующее значение среди темноцветных минералов начинает приобретать роговая обманка, а биотитовые граниты через амфибол-биотитовые разности переходят в роговообманковые гранодиориты и диориты.

Породы фации центральных частей интрузии преобладают над гибридными образованиями краевых частей. Наиболее широко они развиты на северо-востоке изученной территории и на правобережье рек Хилок и Ингода. Типичными представителями фации центральных частей являются крупно- и среднезернистые биотитовые и биотит-амфиболовые, иногда лейкократового облика граниты. Среди лейкократовых разностей отмечаются шлировые обособления более мелкозернистого и меланократового состава, а среди среднезернистых разновидностей - участки крупнозернистого и пегматоидного строения.

Граниты даурского комплекса обычно розовато-серого или светло-серого цвета с буровато-зеленым оттенком в выветрелых образцах. Структура пород гранитная. Породообразующими минералами являются: кварц (30%), олигоклаз № 28 (35%), микроклин (25%), биотит (5-6%), обыкновенная роговая обманка (3-4%); акцессорные минералы - апатит, сфен, гранат, рудный минерал.

Под микроскопом явление динамометаморфизма отображается в оптической дезориентировке кварца, деформации чешуйки биотита, смещении двойниковой штриховки плагиоклазов.

Породы гибридной краевой фации на северо-западных склонах Яблонового хребта образуют поле, вытянутое в северо-восточном направлении и приуроченное к эндоконтакту интрузии с вмещающими образованиями или к участкам прогибов кровли плутона. Максимальная ширина поля 14-16 км (междуречье Зун-Холобо и Барун-Холобо), протяженность 60 км. Массивы площадью до 10 км<sup>2</sup> встречаются в верховьях рек Рышмалей, Барун-Кука и др.

Среди полей развития образований краевой фации отмечается обилие ксенолитов, вмещающих породы различного состава. В большинстве случаев ксенолиты ориентированы в северо-восточном направлении. Размер ксенолитов колеблется от первых метров до десятков километров (поля отложений ортинской свиты). Под действием интрудирующей магмы чужеродные тела претерпели сильное изменение. По составу они часто приближаются к породам диоритового ряда. Среди пород краевой фации преобладающими являются гранодиориты. Кварцевые и кварцодержащие диориты и диориты, а также плагиограниты пользуются подчиненным развитием. Все перечисленные разновидности встречаются обычно вместе и связаны друг с другом тесными взаимопереходами. Внешне это плотные серые или зеленовато-серые массивные породы мелко- и крупнозернистой структуры, иногда порфировидные. Порфировидное строение фиксируется по вкрапленникам щелочного полевого шпата размером от 0,5x0,8 до 2x3,5 см, содержащие которых местами достигает 30%.

Петрографическая характеристика пород краевых частей интрузии приведена в табл. 5.

Дайковые образования, представленные лейкократовыми гранитами, легматитами (γ), микродиоритами и диоритовыми порфиритами (δ, μ), распределены неравномерно. Дайки среднего состава преобладают над первыми. Особенно они обильны в междуречье Кука и Зун-Кука.

Т а б л и ч а 5

Название города	Структура	Породообразующее содержание в породе, процентное	Аксессорные минералы	Вторичные минералы и процессы		2V	Плагиоклазов	
				Биотит	Калиево-полевых шпатов			
Плагиогранит	Гранитная с элементами пойкилитовой, порфирированной	25 (олигоклаз № 28-29) 55	6 22 28-40	12 8 8 6	Присутствует редко	(сфен, циркон) апатит	Хлорит, эпидот, мусковит. Альбитизация	-72° -79° от +79° до +80°
Грано-диорит	Гранитная или порфировидная с элементами пойкилитовой	23	(олигоклаз № 32) 56	22 8 8 6	5 13 13 17	Те же Те же Те же Те же, рутил <sub>4</sub>	Те же и цирозит. Замещение плагиоклазов калиевыми шпатами, кварцем Замещение плагиоклазов калиевыми шпатами: альбитом, альбитизацией, соссортитизацией	-76° -86° от -76° до -86°
Кварцевый диорит	Гранитная, реже гипсоморфно-зернистая или порфировидная	15	(андезин № 32)	-	-	-	-	-78° от -78° до -89°
Кварцодержащий диорит	Гипидиоморфно-зернистая	9	(андезин № 31-33)	-	9	24	Те же	от +79° до +89°
	Та же	1-2	(андезин № 34-36)	-	-	-	-	Альбит-карль-бадский закон
		4-5						

Простижение тел варьирует в широких пределах: от северо-западного до широтного. Мощность их обычно не превышает 1-5 м, редко достигая 20 м. Большая мощность характерна для диоритовых порфиритов. Контакты тел крутопадающие и колеблются от 40 до 85°.

Гранодиориты даурского интрузивного комплекса не образуют четко выраженной в петрохимическом отношении группы. По составу они близки к нормальному граниту (по Дэли), хотя и имеют некоторые отклонения. Так, граниты данного комплекса несколько обогащены щелочными алюмосиликатами и аортитовой составляющей в плагиоклазах (присутствие основного олигоклаза). Невыдержанное содержанием характеризуются магний и железо, входящие в состав темноцветных минералов. Анализ диорита при сравнении со средним составом диорита (по Дэли) указывает на обедненность щелочами и темноцветными минералами, обогащенность аортитовой составляющей и магнием.

Спектральным анализом образцов вышеописанных пород обнаружены следующие элементы: марганец, ванадий, медь, галий, свинец, цирконий, никель, хром, цинк, кобальт, бериллий, серебро. Содержание этих элементов обычно составляет тысячные доли процента. Для марганца оно равно 0,01-0,03%, меди 0,003-0,01%, ванадия 0,005-0,01%.

Нижняя возрастная граница даурского интрузивного комплекса, завершающего среднепалеозойский цикл магматизма, определяется активным контактом гранитов с отложениями ортинской свиты нижнего карбона. На северных склонах Яблонового и южных склонах Осинового хребта породы интрузии перекрываются пермо-триасовыми эфузивами, чем и определяется верхняя возрастная граница. Абсолютный возраст биотитового гранита (правобережье р.Маланга), определенный аргоновым методом Н.И.Полевой (ВСЕГЕИ), равен 180-185 млн. лет.

Из коллекции О.Н.Зориной (ВСЕГЕИ) Н.И.Полевой определен возраст биотитового гранита с правобережья р.Зун-Кука, равный 250 млн. лет.

#### МАЛО-КУНАЛЕЙСКИЙ ИНТРУЗИВНЫЙ КОМПЛЕКС (γ 4 Т)

Породы мезозойской гипабиссальной интрузии встречены в виде небольших массивов (площадью до 25 км<sup>2</sup>) в районе курорта Кука и в бассейне рек Кипковшинская, Рушмалей, Курсун, Мильду-

гун, а также в виде небольших штоков и даек в пределах Осинового хребта и левобережья р.Хилок. Они представлены порфировидными мелко- и среднезернистыми розовато-серыми аляскитовыми гранитами (γ ), сиенит-гранитами (γ ·γ ) и граносиенит-порфирами. Дайки их ориентированы преимущественно в северо-восточном направлении. Мощность даек от 1 до 5-6 м, протяженность от 20 до 300-400 м.

В ряде мест (верховья р.Улуктуй, г.Гуйлюм) штоки сиенит-порфиров и граносиенит-порфиров обнаруживают зональное строение. Центральные части тел сложены гипабиссальными породами, постепенно переходящими в краевых частях в кварцодержащие порфиры субщелочного состава.

Для аляскитовых гранитов весьма характерна миаролитовая текстура и наличие дымчатого кварца. Мелкозернистые разновидности гранитов встречаются в виде отдельных участков на правобережье рек Кислый Ключ и Рушмалей и связаны постепенными переходами с более крупнозернистыми аляскитами центральных частей массивов, т.е. являются структурной краевой фацией последних. Значительные по площади поля мелкозернистых гранитов развиты на правобережье р.Ингода.

Минералогический состав аляскитов довольно постоянен. Поронообразующими минералами являются: кварц (31,7%), щелочной полевой шпат - пертит - (49,6%), олигоклаз № 12-15 (16,4%), биотит (2,3%). Из аксессорных минералов присутствуют апатит, гранат, рудный. Структура пород гранитная или порфировидная. Следы катаракла в породе наблюдаются вдоль узких зон разломов.

При сравнении пород интрузии со средним составом аляскитового гранита (по Дэли) отмечается пониженное содержание щелочей, более высокое содержание аортитовой составляющей в плагиоклазе, недосыщенность глиноземом, обогащение темно-цветными минералами (биотитом).

Сиенит-порфирь (γ ·γ ) представляют собой порфировые или афировые породы светло-серого цвета, иногда с желтоватым или сиреневым оттенком. Вкрашленники состоят из олигоклаза № 22 или олигоклаз-андезина № 30, альбитизированного аортоклаза, биотита и псевдоморфоз мусковита и рудного минерала по биотиту. Основная масса представлена лейстами альбита, аортоклазом и в подчиненном количестве - кварцем, биотитом, рудным минералом, эпидотом, сфером. Для нее характерна призматическая,

микролегматитовая и пойкилитовая структура; значительно реже — радиально-лучистая и гранитная (в центральных частях штоков). Граносиенит-порфиры отличаются большим содержанием кварца, который появляется и во вкраплениниках.

По петрохимическому составу сиенит-порфиры характеризуются пересыщенностью глиноzemом, меньшим содержанием щелочей при сравнении с анализом сиенита по Дэли. Они приближаются к щелочноземельным сиенитам, но обеднены аортитовым компонентом, темноцветными минералами и отличаются разким преобладанием железа над магнием.

Граносиенит-порфиры (γ<sup>п</sup>) принадлежат к породам нормального ряда и почти лишены магния, резко обеднены натрием и содержат значительно больше калия.

Спектральный анализ устанавливает присутствие всех элементов, ранее отмеченных для эфузивов триаса. Для сиенит-порфиров и граносиенит-порфиров характерно присутствие бериллия.

Имеющийся фактический материал не позволяет отрывать во времени образования пород мало-куналейского комплекса от формирования эфузивов. Сиенит-порфиры и граносиенит-порфиры являются гипабиссальными аналогами щелочных эфузивов цаган-хунтейской свиты. Кроме того, возрастное положение интрузии определяется прорыванием аляскитами пермо-триасовых эфузивов Петровавловской свиты (левобережье р.Кислый Ключ) и, с другой стороны, налеганием на них конгломератов харюлатинской свиты нижне-среднеюрского возраста (левобережье р.Ингода).

### ТЕКТОНИКА

Доминирующее развитие изверженных пород и слабая степень обнаженности затрудняют расшифровку структур района и истории формирования. Это объясняет отсутствие единого мнения о тектонике описываемой территории и положении района в общей структуре Забайкалья. Б.А.Иванов (1949 г.) относит площадь листа М-45-У к области каледонской складчатости, А.А.Якшин (1952 г.), А.А.Арсеньев, А.М.Лейтес и др. (1958) — к герцинской, а по М.С.Нагибиной и И.В.Лучицкому (1952 г.) описываемая территория составляет часть Яблоново-Станового антиклиниория в области древнейнейшой зоны складчатости (байкальской).

В общей тектонической структуре района достаточно четко выделяются: верхнепротерозойский, среднепалеозойский, нижнемезозойский и верхнемезозойский структурные комплексы.

Верхнепротерозойский структурный комплекс представлен протерозойскими слоисто-кристаллическими породами и прорывающими их гранитоидами малханского интрузивного комплекса.

Интенсивное дислоцированные образования застепинской свиты сохранились лишь в виде отдельных небольших по площади фрагментов в массиве нижнепалеозойской интрузии. Последнее обстоятельство, а также разрывные нарушения затрудняют расшифровку морфологии отложений этого возраста.

В качестве основного структурного элемента в верхнепротерозойском комплексе выделяется Яблоновый антиклиниорий, вытянутый в северо-восточном направлении. В районе Осинового хребта вулканогенные породы триасового возраста маскируют возможные реликты древних структур юго-восточного крыла Цаган-Хуртейского антиклиниория.

Северо-западное крыло Яблонового антиклиниория полностью уничтожено гранитоидами даурского интрузивного комплекса. Юго-восточное крыло прослеживается по выходам и ксенолитами пород верхнего протерозоя и осложнено разрывными нарушениями. Ориентированочная ширина структуры 25-28 км. Ядерная часть сложена гранитами малханского интрузивного комплекса.

Образования верхнего протерозоя интенсивно дислоцированы, что указывает частое изменение простирания слоистости (от северо-восточного до северо-западного с падением пород под углом 10-40°). Крупные складчатые формы осложнены более мелкой складчатостью, вплоть до плойчатости. Изучение элементов микроскладок позволяет в единичных случаях зафиксировать складки более низких порядков. Так, на водоразделе рек Аблатукан и Большая установлена несколько опрокинутая на юго-восток прямая антиклинальная складка, ширина которой 3 м, азимут погружения антиклинальной складки ЮВ 140°, угол 5°. Аналогичная складка отмечена на левобережье р.Тарат; азимут погружения шарниров микроскладки СВ 50°, угол 20°; азимут осевой поверхности СЗ 310-320°, угол падения 60-70°.

Граниты малханского интрузивного комплекса характеризуются отчетливо выраженной первичной полосчатостью северо-восточного, реже северо-западного простирания с падением под углом 20-40°, реже 50-70°. Совпадение простирания первичных текстур

плутона со слоистостью и сланцеватостью пород застепинской свиты, ориентированность ксенолитов, согласные послойные инъекции пегматоидного и гранитного состава - все это говорит за синорогенный характер интрузии.

Среднепалеозойский структурный комплекс включает в себя складчатые геосинклинальные образования ортинской свиты и прорывающие их каменноугольные интрузии основного и кислого состава. Отложения данного комплекса пользуются ограниченным распространением. Они слагают три небольших разобщенных поля на северо-западных склонах Яблонового хребта, образуя Ортинскую синклиналь, опрокинутую на юго-восток. Простирание структуры северо-восточное, протяженность не менее 30-35 км (учитывая ксенолиты в верховьях рек Улетка, Санга), ширина 8-9 км.

Наиболее полно сохранилось северо-западное крыло синклинали, значительная часть которого перекрыта триасовыми эфузивами и породами харюгатинской свиты. Юго-восточное крыло почти целиком ассимилировано гранитами даурского интрузивного комплекса. В ядре ортинской синклинали обнаруживаются амфиболовые сланцы, крылья сложены кварц-биотит-полевошпатовыми и эпидот-серicit-хлоритовыми сланцами, а также песчаниками. Большая роль в строении северо-западного крыла структуры принадлежит зеленокаменным порфиритам.

Юго-восточное крыло Ортинской синклинали характеризуется пологими углами падения пород ( $СЗ 340^{\circ}$ , угол  $10-20^{\circ}$ ), а северо-западное - более крутыми ( $СЗ 320-330^{\circ}$ , угол  $10-40^{\circ}$ ).

Ундуляция шарнира синклинали подтверждается наблюдениями над поведением шарниров складок высоких порядков в амфиболовых сланцах между речью Большая Улетка и Гуйлон.

В верховьях р. Большая Улетка шарнир Ортинской синклинали погружается в северо-восточном направлении ( $СВ 35^{\circ}$ , угол  $25^{\circ}$ ), а через 2-2,5 км в истоках левого притока р. Гуйлон, на юго-запад ( $ЮЗ 265^{\circ}$ , угол  $25^{\circ}$ ). Изгибание шарнира синклинали обусловило выход на поверхность в верховьях рек Улетки и Санги базальных горизонтов эфузивно-осадочных отложений среднего палеозоя.

Крылья синклинали осложнены складчатостью более высоких порядков и разрывными нарушениями. Так, в породах юго-восточного крыла отмечены симметричные складки северо-восточного простирания шириной до 10 м с падением пород до  $40^{\circ}$ . В севе-

ро-западном крыле наряду с прямыми складками фиксируются складки, близкие к изоклинальным, с падением осевой поверхности на северо-запад под углом  $20-25^{\circ}$ . Выдержанное падение пород в обеих крыльях Ортинской синклинали на северо-запад обусловливается опрокинутостью Ортинской синклинали на юго-восток.

Завершающие движения варисского геотектонического цикла характеризуются преобладанием разрывной тектоники над пликативной.

Нижнемезойский структурный комплекс представлен триасовыми эфузивами с прослойями туфогенно-осадочных отложений, грубообломочными отложениями нижней и средней юры и гранитами мало-куналейского комплекса.

Структуры, сложенные эфузивными породами, не расшифровываются. Залегание подошвы эфузивных покровов на различных гипсометрических уровнях и единичные наблюдения над флюидальностью пород говорят об излиянии магмы на расщепленную поверхность.

Юрские отложения в Беклемишевской депрессии слагают Харюгатинскую синклиналь, а в Ингодинской депрессии - артинскую синклиналь. В пределах листа развиты лишь их северо-восточные оконечности.

Харюгатинская синклиналь прослеживается по отдельным полям грубообломочной юры. Ширина синклинали 16-20 км. Углы падения пород на крыльях не превышают  $10-15^{\circ}$ , увеличиваясь близ разрывных нарушений до  $20-30^{\circ}$ .

Артинская синклиналь представляет собой пологую структуру северо-северо-западного простирания, протяженностью не менее 6-10 км. В ее составе выделяются синклинальные структуры второго порядка (западная и восточная). Ориентировка структур совпадает с простиранием основной синклинали. Ширина западной синклинали до 3 км, восточной до 2,7 км. Для обеих структур характерно более пологое северо-западное крыло (углы падения  $10-30^{\circ}$ ) и более крутое юго-восточное (до  $40-50^{\circ}$ ). Большое коли-чество замеров элементов залегания слоистости позволяет наметить области центриклинальных замыканий синклиналей. Отчетливо это наблюдается для восточной структуры в районе рек Большая и Арта, менее отчетливо - для западной синклинали в среднем течении р. Большая. Поля юрских отложений разбиты разломами на ряд блоков, точную величину амплитуды перемещения которых в большинстве случаев установить нельзя.

Нижнемезозойский структурный комплекс несет черты постгеосинклинального этапа развития данной территории в триасе - нижней юре (?) и характеризуется:

преобладанием разрывной тектоники, которая привела к излиянию кислой лавы и выбросам ее пирокластов. Долгоживущие разломы служили готовыми структурами для внедрения гипабиссальных интрузивных тел гранитов;

региональным перерывом, отделяющим структуры нижнего мезозоя от структур среднепалеозойского этапа;

малыми мощностями эфузивных толщ при сравнительно больших накоплениях, происходившего в континентальных условиях.

Верхнемезозойский структурный комплекс включает образования верхней юры - нижнего мела, выполняющие Ингодинскую и Беклемишевскую впадины и залегающие практически горизонтально.

Дислоцированность меловых отложений, слагающих Ингодинскую и Беклемишевскую депрессии, характеризуется вблизи разрывных нарушений углами падения пород до  $40\text{--}60^{\circ}$  (левобережье р. Нижняя Черемхова). Вдоль бортов депрессий прослеживается предгорная фация конгломератов. Центральные части впадины сложены песчаниками, аргиллитами и алевролитами.

На морфологию угленосных отложений значительное влияние оказывает строение фундамента депрессии. Наиболее пониженная часть ее в Беклемишевской структуре расположена на правобережье р. Хилок. Она зафиксирована целым рядом разномасштабных понижений ложа, вытянутых в виде цепочки вдоль депрессии и четко отбивающихся максимальными понижениями гравитационного поля. В северо-восточном направлении фундамент погружается с одновременным возрастанием мощности меловых отложений до 1100-1300 м (восточный берег оз. Иргень). К юго-западу фундамент Беклемишевской депрессии располагается близко от поверхности, что и обуславливает выклинивание образований мела в районе ст. Гонгота.

Судить о составе пород фундамента в большинстве случаев не представляется возможным. В юго-западной части Беклемишевской депрессии значительная роль в строении фундамента принадлежит среднепалеозойским гранитам. По данным бурения в пределах Беклемишевской депрессии выявлены следующие мульдообразные структуры: Иргенская (Иргень II), Жилковшинская (Иргень I) и Сохондинская. Размеры их не более 5-7 км. Ориентированы они

в северо-восточном направлении.

Наиболее полно изучена Жилковшинская мульда. Ширина структуры до 3 км, длина до 7 км. Центральная часть мульды сложена алевролитами с подчиненными прослоями песчаников; крылья - песчаниками. При приближении к восточному борту депрессии песчаники фациально замещаются конгломератами, а угольные пласти выклиниваются. Основные угольные пласти расщепляются в восточном крыле мульды на ряд мелких, что указывает на большую степень опускания этой части структуры в период осадконакопления.

Аналогичное строение имеют Иргенская и Сохондинская структуры. В Ингодинской депрессии выделяются три крупных понижения фундамента (в районе сел Улеты, Черемхово, Татаурово), ориентированные в северо-восточном направлении и пространственно совпадающие с долиной р. Ингода. Мощность выполняющих впадину отложений равна 1700 м. Фундамент депрессии осложнен разломами (особенно в прибрежной части). Здесь глыбовая тектоника придала ступенчатообразное строение бортам описываемых структур. По данным магниторазведки эфузивные породы в разрезе верхнеюрско-нижнемеловых образований отсутствуют.

Из мезозойских положительных структур хорошо фиксируется асимметричное горстовое поднятие Яблонового хребта, ограниченное с обеих сторон региональными долгоживущими тектоническими нарушениями. Одним из долгоживущих глубинных тектонических нарушений является Ингодинский разлом, отделяющий области протерозойской и среднепалеозойской складчатости от среднепалеозойской. О времени заложения этого нарушения по имеющимся материалам говорить трудно, но известно, что в верхнем палеозое он уже существовал. Это подтверждается, во-первых, наличием непосредственно в зоне разлома динамометаморфизованных пегматитов и аплитов второй фазы даурского интрузивного комплекса, рвущих милонитизированные диориты того же возраста (Фельдман, 1958), во-вторых, присутствием в гальке юрских отложений милонитов и катаклазитов. Для этого разлома характерны:

большая протяженность, исчисляемая многими сотнями километров;

значительная амплитуда перемещений сопряженных блоков (до 2000 м);

подвижность этих блоков в течение длительного времени, что нашло свое отражение на мощности отложений и характере осадко-

накопления в мезозое.

Ингодинский разлом в настоящее время несет черты надвигового нарушения, что фиксируется зонами милонитов мощностью до 200 м, пологими углами падения полосчатости в них ( $10-20^{\circ}$  на юго-восток или юго-юго-восток). Отмечаются углы падения полосчатости до  $40-70^{\circ}$  с одновременным уменьшением зоны тектонитов.

Кроме Ингодинской зоны разломов, отмечается Иргенская и Гонготская зона, ограничивающие Беклемишевскую депрессию. Все крупные тектонические структуры разбиты и смещены серией поперечных (более молодых) разломов северо-западного и западного простирания. Величина горизонтального смещения по ним достигает 3,5-5 км при длине разобщенных отрезков основного нарушения до 10-15 км. Эти поперечные нарушения имеют небольшую протяженность до 15 км (бассейн руч. Жипковшинский). Падение линии сместителя юго-западное или северо-восточное (угол от  $40^{\circ}$  до  $80^{\circ}$ ).

О тектонических движениях в пределах Яблонового антиклиниория в кайнозойское время свидетельствует гипсометрически высокое положение древних речных долин (юго-восточные склоны хребта), приуроченность покровных излияний базальтов к разрывным нарушениям и морфология речных долин (террасированность, висячие долины, изломы продольного профиля и т.д.).

## ГЕОМОРФОЛОГИЯ

В геоморфологическом отношении на исследованной территории можно выделить две генетически различные категории рельефа: эрозионно-тектонический и денудационно-аккумулятивный.

К первой категории относятся низкие и средние складчато-глыбовые горы, формирование рельефа которых связано с интенсивными горообразовательными и эрозионными процессами.

Низкие складчато-глыбовые горы развиты по северо-западным и юго-восточным отрогам хребтов: Осинового, Яблонового и Черского. Это области с относительными превышениями в 150 - 300 м и абсолютными отметками от 1000 до 1200 м.

Среднегорье охватывает водораздельные части Осинового и Яблонового хребтов. Относительные превышения колеблются от 300 до 600 м, абсолютные отметки 1200-1600 м.

Более устойчивым в механическом отношении магматическим

и метаморфическим породам соответствует среднегорный и низкогорный рельеф с различной интенсивностью расчленения. Области слаборасчлененного рельефа охватывают хр. Осиновый, северо-западные отроги хр. Яблонового и его водораздельную часть. Отдельными пятнами этот рельеф наблюдается в прибрежных частях Ингодинской депрессии. Для этих участков характерны широкие пологие водораздельные пространства, заболоченные речные долины блюдцеобразного и ящкообразного полеречного профиля (притоки р. Хилок).

Более молодой, интенсивно расчлененный рельеф приурочивается к восточным и юго-восточным склонам Яблонового хребта. Для него типичными являются узкие, гребневидные водоразделы, изобилие скальных выходов в виде отдельных останцов и целых гряд - водоразделы рек Большая Сестреница, Амбарная и др. Долины рек узкие и глубокие, V-образного и ящкообразного профиля.

Из морфологических типов рельефа, имеющих тесную генетическую связь с морозно-солифлюкционными процессами, отмечаются комплексы нагорных террас, солифлюкционные опльвины, глыбовые россыпи. В междуречье Гуйлон и Санга выделяется комплекс нагорных террас с абсолютными отметками в 1200-1300 м.

Ко второй генетической категории рельефа (денудационно-аккумулятивного) относятся пролювиально-делювиальные, озерно-аллювиальные и аллювиальные поверхности межгорных депрессий. Главная роль в формировании этого рельефа отводится аккумуляции и плоскостному смыву, работе ветра и временных потоков.

В Ингодинской депрессии широким развитием пользуется холмистый и холмисто-увалистый рельеф. По правобережью реки Ингода, на участках распространения закрепленных эоловых песков, наблюдается волнистый рельеф. Выражается он в виде невысоких (от 2-3 м до 8-10 м) увалов, сложенных песком и вытянутых в северо-западном направлении. Понижения между увалами заняты иногда зарастающими озерками и болотами. В Беклемишевской депрессии широкое распространение получили плоские аллювиальные поверхности.

Характерными элементами рельефа являются поймы и террасы рек. Широкую пойму имеет р. Ингода (до 8 км между устьями рек Хадакта и Маланга). Поймы других рек значительно меньше, ширина их от первых метров до первых десятков и сотен метров. Для

р.Ингода выделяется три надпойменные террасы, для рек Хилок и Хила - две террасы.

Самыми древними макроформами рельефа являются хребты и депрессии. Ширкое распространение триасовых эфузивов в пределах Осинового хребта, различное гипсометрическое положение подошвы покровов указывают на существование расчлененной поверхности уже в нижнем мезозое. Наличие небольших пятен грубообломочных отложений нижней - средней юры в предгорьях Яблонового хребта позволяет лишь предполагать об интенсивном формировании макроформ рельефа. Начиная с нижнего мела, общий план геоморфологического строения района сохраняется до настоящего времени. В кайнозое продолжается лишь доработка форм современного рельефа. Реки Ингода и Хилок в пределах депрессии вырабатывают свои долины. В связи с глыбовыми движениями происходит некоторая перестройка речной сети. Об этом свидетельствуют сохранившиеся древние долины, встречающие на водоиздельных пространствах между реками Жилковшинский, Барун-Кука, Кислый Ключ и Ингода.

### ПОЛЕЗНЫЕ ИСКОПАЕМЫЕ

На территории листа известны проявления железорудного, золотого, молибденового, вольфрамового, полиметаллического оруднения в коренном залегании; выявлены радиоактивные аномалии. Шлиховым и металлометрическим опробованием выделяются ореолы рассеяния тория, урана, бериллия.

Из полезных ископаемых наибольший интерес представляют буроугольные месторождения. В окрестностях курорта Кука имеется несколько фонтанирующих скважин минеральных вод.

### ГОРЮЧИЕ ИСКОПАЕМЫЕ

Уголь. В северо-восточной части Беклемишевской впадины разведано Иргеньское буроугольное месторождение. В пределах описываемой территории попадают лишь два угленосных поля: Северное и Южное. Вмещающая уголь толща сложена алевролитами и песчаниками нижнемелового возраста.

Северное поле состоит из двух участков "Иргень I" и "Иргень II", представляющих собой мульдообразные конседиментацион-

ные складки.

На участке "Иргень I" (левобережье р.Хилок) детальной разведкой вскрыты три пласта угля общей мощностью 18 м. Наибольшей мощности пласти угля достигают на западном крыле структуры; к востоку они выклиниваются с появлением во вмещающей толще грубообломочных пород (конгломератов и крупнозернистых песчаников). Основные рабочие пласти (I и II) состоят из нескольких пачек, разделенных прослоями алевролитов, реже песчаников. Средняя рабочая мощность верхнего I пласта составляет 7,68 м, нижнего II - 6,60 м. Спутник пласта I представлен одной-двумя пачками угля средней мощностью 1,7 м. Самый нижний пласт III имеет мощность от 1,2 до 0,1 м.

Участок "Иргень II" расположен к востоку от оз.Иргень. Пласт угля сложного строения средней мощностью 6 м. Падение пласта западное, причем по падению пласт резко выклинивается.

Северное поле Иргеньского буроугольного месторождения пригодно для разработки угля открытым способом.

Южное угленосное поле (к северу от ст.Сохондо) представлено (по данным поисковой разведки) пятью сложными пластами угля. К востоку наблюдается выклинивание угленосных горизонтов и замещение их грубообломочным материалом. Мощность угольных пластов от I до 4,3 м. Наибольший интерес представляют первый (западная часть угленосной мульды) и четвертый пласти. Первый имеет мощность 4,3 м, четвертый (сложный) состоит из двух пластов мощностью 2,7 м и 1,9 м, разделенных 10-20-сантиметровым прослоем грубообломочного материала. Южное поле Иргеньского месторождения пригодно для подземной разработки.

Уголь Иргеньского месторождения по данным химическим анализов имеет следующие качественные показатели: зольность ( $A^c$ ) 7,08-24,47%; выход летучих на горючую массу ( $V^G$ ) 42,27 - 55,67%; теплотворная способность ( $Q_g^G$ ) 6475-6674 ккал; сера общая ( $S_{общ.}^c$ ) 0,87-1,95%; сера органическая ( $S_{орг.}^c$ ) 0,66 - 1,19%. Кокс порошкообразный, пламя слабокоптящее.

Запасы угля по категории С<sub>I</sub> на 1 января 1959 г. составили 87 млн.т (Размахнина, 1959).

К юго-западу от рассматриваемой площади в пределах Ингединской депрессии Н.А.Флоренсовым в 1939 г. отмечены два пласти угля общей мощностью 0,7 м. Углерожжение отмечено также в 1954 г. в пойме р.Дешулан, а в 1955 г. - в скважине около

с.Бальзой.

Вышеизложенные данные позволяют рекомендовать Ингодинскую котловину для поисков месторождений угля.

### ЧЕРНЫЕ МЕТАЛЛЫ

В районе горы Гонгота в 1956 г. аэромагнитной съемкой выявлена магнитная аномалия интенсивностью 2000 гамм. Горными работами были вскрыты и проверены аномальные точки, оконтурены на площадь развития габброидов и вскрыты контакты с вмещающими породами. В габбро отмечается мелкая и редкая вкрапленность сульфидов железа. Содержание титана по результатам спектрального анализа колеблется в пределах от 0,01-0,4%.

По данным спектрального анализа металлометрических проб, в бассейнах рек и ручьев Рушмалей, Жипковшинский, Зун-Кука, Кука, Барун-Кука, Кислый Ключ отмечается содержания титана до 1%. Рудопроявления этого типа не представляют практического интереса.

В пределах Ингодинской депрессии в 2,5 км на юго-запад от с.Хадакта в песчано-галечных отложениях поймы р.Ингода встречены повышенные концентрации титановых минералов (ильменита, рутила) в шлихах. В отдельных пробах содержание их достигает 20 кг/м<sup>3</sup>. Среднее содержание по некоторым шурфам около 2 кг/м<sup>3</sup>.

Рудопроявление заслуживает проведения более детальных поисковых работ.

### ЦВЕТНЫЕ МЕТАЛЛЫ

Полиметаллическое рудопроявление обнаружено на правом склоне долины р.Малая Маланга, в 500 м выше впадения ее в р.Маланга. Оно представлено кварцевой жилой, несущей сульфидное оруденение (сульфиды свинца и железа). Мощность кварцевой жилы 0,4-0,5 м, протяженность 75 м. Минералогическим анализом установлено содержание галенита 8,3 г/т. Спектральные анализы показали следующие содержания полезных компонентов (табл.6).

Таблица 6

Место взятия проб	Результаты спектрального анализа							
	Mo	W	Sn	Pb	Ag	Be	Cu	Ti
Канава I	-	-	-	0,001	-	-	0,01-0,03	0,01-0,03
Канава 4	-	-	-	-	-	-	0,001	0,03

Шлиховым опробованием установлено наличие галенита по пади Мальта (западный берег оз.Иргень) в долине р.Хилок (около ст.Соходдо) и в верховьях левого притока р.Зун-Кука. Форма зерен окатанная, реже кубическая. Размер зерен от 0,1-0,3 мм до 1,0 мм.

Спектральными анализами металлометрических проб отмечается устойчивый фон (до 0,01%) свинца на всей площади. Содержание до 0,1-0,2% зафиксировано в верховьях р.Крайняя Улетка.

Цинк встречается в разрозненных металлометрических пробах в бассейне рек Тарат, Делюн, Арта, Алданой, в верховьях рек Нижняя и Верхняя Черемховая, где он ассоциирует с оловом, свинцом, бериллием и молибденом. Содержание его до 0,1%; в единичных пробах (реки Нижняя Черемховая, Санга) его более 0,1%. Наличие цинка на этих участках подтверждается результатами гидрохимического опробования.

### БЛАГОРОДНЫЕ МЕТАЛЛЫ

Золото. Коренное рудопроявление золота обнаружено в биотитовых гранодиоритах даурского комплекса в левом борту р.Хадакта (Хилокская). При анализе шлиха было зафиксировано два знака золота. Форма зерен неправильная, фигурная. Размер зерен до 0,1 мм.

По данным шлихового опробования, золото отмечено также в среднем течении рек Маланга, Шебартуй, в бортовых отложениях р.Арта, в верховьях рек Гычехен, Хадакта, Улетка, Рытмалей, руч.Жипковшинский и др. Форма золотинок пластинчатая, реже фигурная. Размер их не превышает 0,3-0,5 мм. Содержание выражено знаками (I-7). По всей вероятности, золото в районе связано

с многочисленными маломощными кварцевыми жилами, которые широко развиты среди гранитоидов.

Следы золота пробирным анализом обнаружены в жиле хальцедоновидного кварца на северо-западной окраине с. Домно-Ключи. Имеющиеся данные позволяют рекомендовать постановку поисковых работ на золото масштаба 1:50 000 в бассейнах рек Улетка, Арта, Рышмалей и Домна.

### РЕДКИЕ МЕТАЛЛЫ

Вольфрам. Рудопроявления вольфрама имеют исключительно минералогический интерес. В протолочках из биотитовых гранитов (правобережье р. Малой Маланги) отмечается шеелит в количестве до 12,5 г/м<sup>3</sup>.

Шлиховое опробование устанавливает повсеместное распространение шеелита в аллювиальных отложениях рек района. Встречается он, как правило, в единичных зонах.

По данным спектрального анализа металлометрических проб, обнаружено присутствие вольфрама в единичных пробах в верховьях левого притока р. Арта, по р. Делюн и р. Шебартуй. Содержание вольфрама 0,001-0,003%, редко 0,01%. В верховьях р. Шебартуй вольфрам был установлен в количестве 0,2% в ассоциации с оловом.

Повсеместное развитие шеелита среди поля гранитоидов позволяет предположить, что источником его в делювии служит акцессорный шеелит гранитов.

Молибден. Молибденовое рудопроявление представлено распределенной вкрапленностью в гранитоидах, которая обнаруживается только минералогическим и спектральным анализами. Минералогическим анализом установлено содержание молибденита в лейкократовых гранитах верховьев р. Большая Сестреница в количестве 5 г/м<sup>3</sup>.

По данным спектральных анализов этих гранитов молибден содержится в количестве 0,01%, ассоциируя с вольфрамом (0,05-0,1%), оловом (0,01-0,03%), бериллием (0,003%), свинцом (0,01%).

В биотит-роговообманковых гнейсах среднего течения р. Черемховая минералогическим анализом обнаружен молибденит в виде единичных чешуек размером в 0,5 мм.

Данными спектрального анализа металлометрических проб в верховьях рек Санга, Санга-Гулон, Хадакта, Джымбырка фиксируется широкое развитие молибдена. Содержание его превышает 0,003%. Несколько повышенная зараженность делювия молибденом отмечена в верховьях рек Домна, Арта, где содержание молибдена колеблется в пределах 0,005-0,01%.

Бериллий. Коренного рудопроявления берилля не встречено. На основании спектральных анализов металлометрических проб выделяется пять ореолов рассеяния берилля:

1. На юго-восточных склонах Осинового хребта (площадь 8 км<sup>2</sup>);
2. Водораздел рек Большая и Тарат (площадь до 16 км<sup>2</sup>);
3. Верховья рек Тарат, Делюн, Арта (площадь до 21 км<sup>2</sup>);
4. Верховье р. Средняя Улетка (площадь 1 км<sup>2</sup>);
5. Левобережье р. Каменка (площадь до 10 км<sup>2</sup>).

Берилль отмечается совместно с оловом, молибденом, реже со свинцом. Содержание его колеблется в пределах 0,005-0,01%. Пространственно ореолы рассеяния приурочиваются к нижнепалеозойским гранитам и, вероятно, связаны с многочисленными пегматитами, а также к субшелочным и щелочным эфузивам, в состав которых берилль входит в виде элемента-примеси.

Все рудопроявления представляют только минералогический интерес.

Тантало-ниобаты. Минералы группы тантало-ниобатов характеризуются ничтожным развитием и приурочиваются к участкам долин, расположенных в пределах гранитов нижнепалеозойского возраста. Встречаются эти минералы в единичных количествах в шлиховых пробах (реки Рышмалей, Улетка, Санга, Черемховая). Источником этих минералов в делювии, вероятно, являются широко развитые в гранитах пегматиты.

На левобережье р. Ингода (водораздел рек Амбарная и Жимыхыр) в крупнозернистых пегматитах отмечено коренное рудопроявление тантало-ниобатов. Пегматиты образуют жилы и линзы мощностью до 2,5 м и длиной до 15 м. Состоят они из кварца и полевого шпата. В их составе присутствуют гранат, циркон, ильменит, магнетит, сфен, апатит и минерал из группы тантало-ниобатов, содержащий редкие зерна (группа поликраз-эвксенита). Размер кристаллов последнего минерала достигает 4 мм по длинной оси. Спектральным анализом в минерале установлены:

ниобий, титан, кальций, железо, циркон, свинец, иттрий, магний, олово, молибден, ванадий, цинк, кремний, алюминий, медь, висмут, бериллий, уран, торий. Содержание эквивалент-урана в штуфах пегматита - 0,009%; результат качественного перлово-люминесцентного анализа положительный. Рудопроявление детально не изучено.

Уран. В результате радиометрических наземных поисков и металлометрической съемки выявлены радиометрические аномалии и ореолы рассеяния радиоактивных элементов.

В мелкозернистых гранитах на левобережье руч. Жилковшинский (ниже пади Гнилая) при автогаммаиземке выявлена аномалия 15 гамм (при фоне 3-5 гамм). Анализ штуфных проб показал содержание эквивалент-урана 0,004% (проба № 1), 0,005% (проба № 2), 0,003% (проба № 3).

В верховьях р. Большая Сестреница и Зун-Холобо в мелкозернистых слабо гнейсовидных пегматоидных гранитах зафиксирована радиоактивность 89 гамм (обычная активность для пород этого типа колеблется в пределах 20-21 гамм). В радиусе 200 м от центра аномалии активность пород резко падает, однако превышает фоновое показание более чем в 3 раза (63 гаммы). Лабораторные исследования штуфов показали содержание до 0,009% эквивалент-урана с нарушением равновесия в сторону его избытка.

Металлометрической съемкой на левобережье р. Рушмалей и в верховьях р. Нижняя Черемховая выявлены ореолы рассеивания урана на площади в 2,5 и в 2 км<sup>2</sup>. В первом случае ореол тяготеет к краевой фации среднепалеозойских гранитов, во втором - к нижнепалеозойским гранитоидам. Содержание урана участка р. Рушмалей  $30 \cdot 10^{-4}\%$  (при фоне в  $15 \cdot 10^{-4}$  -  $20 \cdot 10^{-4}\%$ ), а на р. Нижняя Черемховая) от  $30 \cdot 10^{-4}\%$  до  $36 \cdot 10^{-4}\%$  (при фоновом содержании  $10 \cdot 10^{-4}$  -  $14 \cdot 10^{-4}\%$ ).

Торий. Шлиховым опробованием выявлен ореол рассеивания торита (площадью до 45 км<sup>2</sup>) в бассейнах рек Рушмалей, Курсун, Ближний Рушмалей. Пробы с единичными знаками торита известны на западном берегу оз. Иргень, в верховьях р. Санга (Хилокская), Курсун, Дальний Рушмалей.

Встречается торит в виде кристаллов и окатанных зерен размером 0,2-0,5 мм. Содержание его от единичных зерен до зонкового. Ореол тория приурочен к контакту нижнепалеозойских и среднепалеозойских гранитов.

Германий. Германий обнаружен спектральным анализом проб из угольных прослоев Иргеньского буроугольного месторождения.

Содержание полезного компонента по отдельным пробам колеблется от тысячных до сотых долей процента.

Выявление повышенного содержания германия в углях Иргеньского месторождения требует постановки детальных работ с целью выяснения генезиса и запасов данного элемента.

Ртуть. Киноварь обнаружена в единичных знаках в пяти шлиховых пробах по рекам Улетка, Крайняя Улетка, Чернуха, Домна, Кука. Ртутная минерализация, вероятно, приурочена кtektonическим нарушениям в гранитоидах.

Висмут. Шлиховым опробованием единичные зерна висмутита отмечены в пробах по рекам Крайняя Улетка, Санга, Большая Сестреница, Зун-Холобо и др. Размер зерен до 0,1-0,2 мм, зерна с хорошей степенью окатанности. Пробы с висмутитом пространственно тяготеют к полям развития нижнепалеозойских гранитоидов, которые прорываются многочисленными кварцевыми жилами и пегматитами.

## СТРОИТЕЛЬНЫЕ МАТЕРИАЛЫ

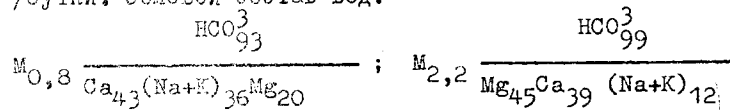
В районе имеются неограниченные возможности для добычи строительного камня. В настоящее время граниты разрабатываются местной промышленностью на бутовый камень. Местными организациями разрабатываются мелкие месторождения глин, песков, галечника и щебня, имеющие незначительные запасы. Серьезного внимания заслуживают находки перлитов по водоразделу рек Шебартуй и Мильдугун. На этих участках перлиты слагают две дайки длиной до 300 м при мощности 10-15 м. В этом районе следует рекомендовать постановку поисково-разведочных работ с целью промышленной оценки перлитов.

## МИНЕРАЛЬНЫЕ ИСТОЧНИКИ

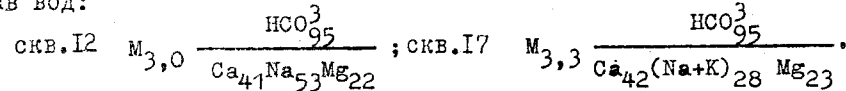
На территории листа известно несколько минеральных источников: 1) группа источников курорта Кука, 2) источник пади Борзиха и 3) источник Кислый Ключ.

Кукинский источник известен с 1952 г. Источник расположен на правом склоне долины р. Кислый Ключ. По химическому со-

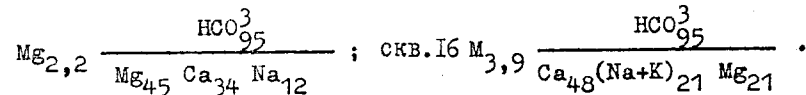
составу воды источника относятся к гидрокарбонатно-натриево-кальциевому или к гидрокарбонатно-кальциево-магниевому типу. Содержание свободной углекислоты колеблется в пределах 0,8-2,0 г/л, температуры воды от 0,2 до 1,1°C дебит источника 26-43 м<sup>3</sup>/сутки. Солевой состав вод:



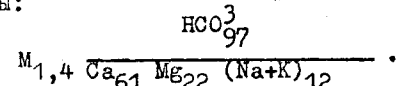
В районе курорта Кука имеется четыре скважины, пробуренные рядом с источником. Скважины I2 и I7 вскрыли гидрокарбонатно-натриево-кальциевые воды с содержанием свободной углекислоты 3,4-3,5 г/л. Температура воды 0,2°C, дебит при самоизливе в скв. I2 составил 3 м<sup>3</sup>/сутки, в скв. I7-I3 м<sup>3</sup>/сутки. Солевой состав вод:



Скважины I4 и I6 вскрыли гидрокарбонатно-кальциево-магниевые воды с содержанием свободной углекислоты от 1,1-2,9 до 4,5 г/л. Температура воды 0,6-1,5°C. Дебит скважин от 8 - 9 м<sup>3</sup>/сутки (скв. I4) до 40 м<sup>3</sup>/сутки (скв. I6). Солевой состав воды: скв. I4



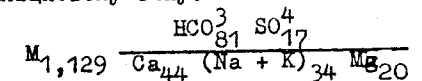
Источник пади Борзиха расположен в 3,5-4 км на юго-запад от курорта Кука. Тип воды гидрокарбонатно-кальциевый, с содержанием свободной углекислоты 1,5 г/л. Температура воды от 0,5 до 0,9°C, дебит 9 м<sup>3</sup>/сутки, радиоактивность до 32 эман. Химический состав воды:



Наиболее вероятно, что выходы минеральных вод связаны с зонами разломов субширотного и северо-северо-западного простирания.

Источник "Кислый Ключ" расположен на правом борту долины

р.Крайняя Улетка, в 4,5 км выше слияния ее с р.Средняя Улетка. По химическому составу воды источника относятся к гидрокарбонатно-кальциевому типу. Солевой состав воды:



Активность водородных ионов 7,3. Содержание урана 3,10<sup>-8</sup> г/л.

Минеральные озера. В пределах Беклемишевской и Ингодинской котловины отмечено пять минеральных озер: Большое Гужирное, Агванка, Гужирное, Улетовское, Большое. Воды этих озер характеризуются значительной щелочностью вследствие большого содержания в них гидрокарбоната натрия и калия. Химический анализ рассолов двух озер приведен в табл.7.

Таблица 7

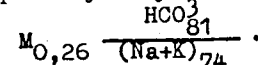
	Содержание в г/л	
	оз.Гужирное	оз.Большое
Удельный вес .....	1,018	-
Сухой остаток .....	20,984	7,650
Сухой остаток после про- калки .....	19,684	7,424
Кальций (Ca <sup>++</sup> ) .....	0,0947	0,0167
Магний (Mg <sup>++</sup> ) .....	0,0127	0,0444
Натрий (Na <sup>+</sup> )	7,52	0,8804
Аммоний	-	0,0021
CO <sub>3</sub> <sup>2-</sup>	3,984	0,1860
HCO <sub>3</sub> <sup>-</sup>	7,856	1,2383
SO <sub>4</sub> <sup>2-</sup>	3,874	0,0150
Cl <sup>-</sup>	2,26	5,6445
Качественная реакция на бром	Положительная	Не проводилась

Спектральный анализ ила Гужирного озера указывает на присутствие следующих элементов (табл.8).

Таблица 8

Элементы	Содержание в %
Свинец	Следы
Кобальт	0,001 - 0,003
Никель	Следы
Медь	0,001 - 0,003
Марганец	0,1 - 0,2
Хром	Следы
Галий	0,003 - 0,005
Цирконий	0,01 - 0,03
Титан	0,1

По химическому составу воды Улетовского озера относятся к гидрокарбонатному натриевому типу. Солевой состав воды:



В незначительных количествах присутствуют соли хлора, сульфатов, магния и кальция. Активность водородных ионов 8,2.

Содержание урана в водах минеральных озер незначительное и варьирует в пределах  $7,5 \times 10^{-7}$  -  $1,05 \times 10^{-6}$ . Главную роль в минерализации озер играли процессы химического и физического выветривания окружающих горных пород.

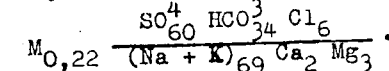
Минеральные воды района обладают лечебными свойствами и являются базой для развития курортов.

### ПОДЗЕМНЫЕ ВОДЫ

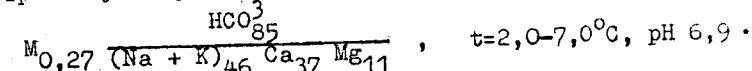
По условиям залегания выделяются пластово-поровые, пластово-трещинные, порово-трещинные типы подземных вод. Наличие многолетней мерзлоты обуславливает характер самих вод, которые в зависимости от глубины залегания и условий циркуляции подразделяются на надмерзлотные, межмерзлотные и подмерзлотные. В районе с.Бальзой, ст.Соходно, ст.Яблоновая и курорта Кука мощность горизонта многолетней мерзлоты составляет 27-60 м, редко до 90 м.

### ПЛАСТОВО-ПОРОВЫЕ ВОДЫ РЫХЛЫХ ЧЕТВЕРТИЧНЫХ ОТЛОЖЕНИЙ

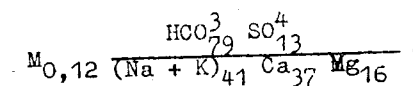
Пластово-поровые воды встречаются в колодцах сел Улеты, Чемхово, Татаурово и др. В районе курорта Кука надмерзлотные воды вскрыты на глубине 3 м, в с.Улеты - на глубине 14 м. Воды этого типа приурочены к аллювиальным, делювиальным и проаллювиальным образованиям. Водоупором для них служит горизонт многолетней мерзлоты. Режим непостоянен, питание горизонта осуществляется за счет атмосферных осадков, подтона (в участках таликов) межмерзлотных и подмерзлотных вод. Воды, как правило, напорные. Солевой состав вод:



На более значительных глубинах (от 11 до 30 м) встречаются воды межмерзлотных горизонтов. Так, в районе с.Бальзой эти воды находятся на глубине 12,25 м (скв.2) и на глубине 7-13 м (скв.3). Воды напорные, дебит 0,5 л/сек. По химическому составу воды относятся к гидрокарбонатно-кальциево-натриевому типу. Солевой состав вод следующий (скв.2):



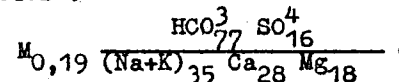
Подмерзлотные воды располагаются на глубинах 11-30 м. Воды напорные, характеризуются динамичностью и отсутствием твердой фазы. Мощность горизонта подмерзлотных вод варьирует в пределах 3,5-4 м. По химическому составу отличаются от вышеописанных присутствием свободной углекислоты (район пади Борзиха, Кислый Ключ) и большей стерильностью. Скв.3 в районе оз.Большого (к юго-западу от с.Бальзой) на глубине 22,65 м встретила напорный водоносный горизонт среди разнозернистого песка. Дебит скважины 1,13 л/сек. По химическому составу воды пресные, гидрокарбонатно-кальциево-натриевые; солевой состав:



## ПОРОВО-ПЛАСТОВЫЕ ВОДЫ МЕЛОВЫХ ОТЛОЖЕНИЙ

Порово-пластовые воды меловых отложений вскрыты скважинами в Беклемишевской и Ингодинской депрессиях. В депрессиях пластовые подмерзлотные напорные воды были обнаружены во многих пунктах и на различных глубинах, в зависимости от мощности многолетней мерзлоты.

Скважиной 2 подземные воды встречены на глубине 35,35 м; мощность водоносных отложений 16 м. Водоносный горизонт характеризуется частой перемежаемостью водоносных и водоупорных слоев; дебит скважины 1,1 л/сек. Воды гидрокарбонатно-натриево-кальциевые, состава:



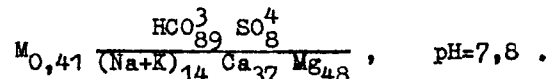
На ст. Сохондо пробурено четыре скважины (1,2,3 и 5). Водоносный горизонт в первых трех скважинах вскрыт на глубинах 60,2-64,6 м; водоупорным пластом является плотная глина. Дебит воды этих скважин колеблется в пределах 3,1-13,2 м<sup>3</sup>/час. Скважиной 5 напорные воды встречены на глубине 58,0 м; мощность водоносного горизонта 7,05 м, дебит 4,32 м<sup>3</sup>/час.

В районе ст. Лесная напорные воды вскрыты на глубине 66,68 м; мощность водоносного горизонта 12,77 м.

Воды меловых отложений пресные, местами слабо минерализованы. Содержание урана в водах варьирует в пределах  $3,5 \cdot 10^{-8}$  -  $1,05 \cdot 10^{-6}$  г/л.

## ПЛАСТОВО-ТРЕЩИННЫЕ ВОДЫ ЮРСКИХ ОТЛОЖЕНИЙ

Пластово-трещинные воды фиксируются рядом источников по долинам рек Тарат, Большая Чипчигир, Зун-Холобо и др. Дебит колеблется в пределах 0,5-2 л/сек. Питание подземных вод осуществляется главным образом за счет атмосферных осадков. По химическому составу воды гидрокарбонатно-кальциево-магниевые и характеризуются сравнительно небольшой минерализацией:

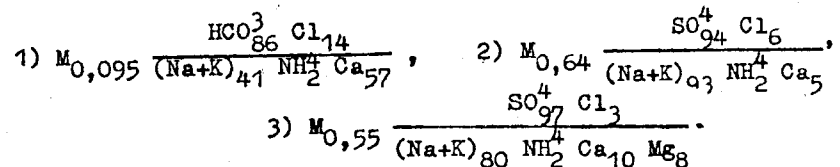


Хлор в следах. Плотный остаток колеблется в пределах от 201,07 до 409,46 мг/л. Температура вод источников от 4-6° до 10-12°С. Содержание урана незначительное: от  $3 \cdot 10^{-8}$  до  $1,5 \cdot 10^{-6}$  г/л.

## ТРЕЩИННЫЕ ВОДЫ

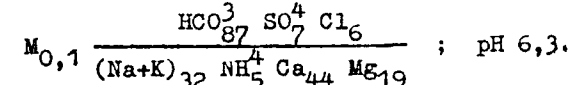
Наибольшим распространением пользуются трещинные воды интрузивных и эфузивных пород. Источники данного типа вод имеют малый дебит (0,5-1,0 л/сек), пересыхают летом и перемерзают зимой. Повышенная водообильность источников в гранитоидах (до 3 л/сек) связана с трещинами отдельности и с зонами разрывных нарушений. Температура вод колеблется в пределах 3-4°С. Питание трещинных вод в основном осуществляется за счет инфильтрации атмосферных осадков.

По своему химическому составу трещинные воды осадочно-тектонических и эфузивных пород относятся к гидрокарбонатно-кальциевому и сульфатно-натриевому типам со следующими формулами солевого состава воды:



Воды нижнепалеозойских гранитов относятся к типу гидрокарбонатно-кальциево-натриевых с повышенным содержанием щелочей и солей кальция и магния.

Воды же среднепалеозойских гранитов по химическому составу относятся к типу гидрокарбонатно-кальциевых, реже гидрокарбонатно-кальциево-магниевых и характеризуются следующим составом:



Температура вод источников 4-5°С.

Содержание урана в водах колеблется в пределах  $10^{-6}$ - $10^{-8}$  г/л.

Из перечисленных типов вод наиболее надежным источником водоснабжения является подмерзлотные и порово-пластовые воды осадочных отложений.

Якжин А.А. Некоторые черты геологической структуры Восточного Забайкалья. "Разведка и охрана недр", № 2, 1955.

## ЛИТЕРАТУРА

### Опубликованная

Абдулаев Х.М., Исамухамедов И.М.,  
Хамбробаев И.К. Роль процессов асимиляции в  
формировании интрузивных комплексов Западного Забайкалья. Изв.  
АН СССР, "Вопросы петрографии и минералогии", т. I, 1953.

Арсеньев А.А., Буфф, Л.С.,  
Лейтес А.М. Геологическое строение Читинской облас-  
ти. Изд-во АН СССР, 1958.

Арсеньев А.А., Нечаева Е.А.  
Краткий очерк вулканизма Ундинско-Хилокского междуречья (Запад-  
ное Забайкалье). Тр.ИГЕМ АН СССР, вып.128, 1951.

Досуля Т.Т., Флоренсов Н.А.,  
Криволапов С.К. Материалы к геологии бассейна  
верхнего течения р.Ингоды (Забайкалье). Тр.Иркутск. гос.ун-та,  
сер.геол., т.3, вып.3, 1950.

Иванов Б.А. Угленосные и другие мезозойские  
континентальные отложения Забайкалья. Тр.Вост.-Сиб. геол.упр.,  
вып.32, Иркутск, 1949.

Мартинсон Г.Г. О стратиграфии мезозойских  
континентальных отложений Забайкалья. Докл.АН СССР, т.105, № 2,  
1955.

Нагибина М.С. Эффузивно-осадочная свита  
междуречья Хилок - Чикой - Ингода (Западное Забайкалье). Вестн.  
МГУ, № 3, 1948.

Нагибина М.С., Лучицкий И.В.  
О структурном расчленении Забайкалья. Изв.АН СССР, сер.геол.,  
№ 2, 1948.

Обручев В.А., Герамисов А.П.  
Геологические исследования и разведочные работы по линии Си-  
бирской железной дороги. Вып.18, 19, 1899.

Фельдман В.И. Геологическое строение части  
бассейнов средних течений рек Ингоды и Хилка. Тр.ЧГУ, № 2,  
1958.

Флоренсов Н.А. Геоморфология и новейшая  
тектоника Забайкалья. Изв.АН СССР, № 2, 1948.

Флоренсов Н.А. К геологии межгорных владин  
Прибайкалья и Ближнего Забайкалья. Мат-лы по изучению произ-  
водительных сил.

### Фондовая

Арцыбашев С.А. Отчет об исследовании ра-  
диоактивности вод курортов Дарасун, Олентуй, Кука. 1924.

Бессолицын Е.П. Геологический очерк бас-  
сейна реки Аленгуй. 1937.

Другов С.И. Отчет о геологических исследова-  
ниях в районе среднего течения р.Ингоды в 1932 г. 1934.

Зорина О.Н., Смирнова А.Д. Мар-  
шрутные исследования масштаба 1:500 000 в северной части листа  
М-49. 1957.

Ишимухаметов И.С., Востриков А.М.  
Окончательный отчет Забайкалья тематической партии по теме № 3.  
1956.

Ламтадзе В.Д. Предварительный отчет Кукин-  
ской гидрогеологической партии. 1939.

Львов А.В. Докладная записка вправление тран-  
спортного потребительского общества Забайкальской железной до-  
роги, 1927.

Мажуга О.Д. Отчет о гидрогеологических рабо-  
тах на курорте Кука, выполненных в 1949-1952 гг.

Орлова Л.М., Широбосков И.М. От-  
чет о результатах работ Молоковской гидрогеологической партии  
за 1949 г.

Пинчук Е.С., Темников Ю.И. и др.  
Геологический отчет ревизионной тематической партии за 1956 г.

Соколов Д.С. Геологическое строение области  
водоразделов рек Хилка, Витима и Ингоды. 1933.

Соколов Д.С. Заключение о водоснабжении за-  
падного конца ст.Соходно Забайкальской железной дороги. 1932.

Смолский П.А., Шербинин И.И.  
Отчет о результатах работ в районе Молоковских минеральных ис-  
точников и курорта Кука. 1954.

Таевский В.И. Сводный отчет о полезных ис-  
копаемых Читинского района по материалам геоплоходов 1936-  
1937 гг.

Тюнникова М.Ф. Отчет о проведенных работах  
в 1950 г. Кукинской гидрогеологической партией.

Размакнина Н.Ф. Геологический отчет Чи-  
тинского геологического управления за 1958 г. (Черные металлы,  
уголь). Том. I, 1959.

Чайкин В.М., Коровин С.Н. Гео-  
логическое строение бассейна среднего течения р.Ингоды (Вос-  
точное Забайкалье). 1938.

Приложение I

Список материалов, использованных для составления карты полезных ископаемых

№ п/п	Фамилия и инициалы автора	Название работы	Год составления или издания	Местонахождение материала его фондовый № или место издания
I	Фомин И.Н., Лашманов В.И., Фомина В.А.	Геологическое строение бассейнов среднего течения р.Ингода и верхнего течения р.Хилок	1958	Фонд Читинского геологического управления
2	Орлова Л.М., Широбоков И.М.	Отчет о результатах работ Молоковской гидрогеологической партии за 1949 г.	1950	Там же
3	Размахнина Н.Ф.	Геологический отчет Читинского геологического управления за 1958 г. (Черные металлы, уголь) т.1	1959	"

Приложение 2

Список промышленных месторождений полезных ископаемых на листе М-49-У карты полезных ископаемых масштаба 1:200 000

№ по карте	Индекс клетки на карте	Наименование месторождения и вид полезного ископаемого	Состояние эксплуатации	Тип месторождения (К-коренное, Р-россыпное)	№ использованияного материала по списку
2	3-I	<u>Бурый уголь</u>	Не эксплуатировалось	К	3
3	3-I	Иргенское (Северное поле)	То же	К	3
		Иргенское (Южное поле)			

Приложение 3

Список проявлений полезных ископаемых, показанных на листе М-49-У  
карты полезных ископаемых

№ по карте	Индекс клетки на карте	Название (местонахождение) проявления и вид полезного ископаемого	Характеристика проявления	№ используемого материала по списку	Примечание
18	3-IU	<u>Титан</u> Ингодинская депрессия в 2,5 км выше пос.Хадакты	Шлиховым опробованием выявлен ореол рассеяния титановых минералов на площади до 4 км <sup>2</sup> . Концентрация полезных компонентов в отдельных случаях достигает 20 кг/м <sup>3</sup>	I	Участок заслуживает внимания
10	I-III	<u>Золото</u> В 5 км выше слияния рек Большая Улетка и Хадакта (Хилокская)	Анализом искусственных шлихов из среднепалеозойских гранитов зафиксировано знаковое содержание золота	I	

Бериллий

I	2-I	Юго-восточные склоны хр.Осинового	Металлометрической съемкой выявлен ореол рассеяния бериллия в триасовых эфузивах на площади 8 км <sup>2</sup> . Содержание бериллия - тысячные доли процента	I	
I3	4-III	Юго-восточные склоны Яблонового хребта, в 4 км к северо-востоку от с.Татаурово	Металлометрической съемкой выявлен ореол рассеяния бериллия в нижнепалеозойских гранитах на площади до 10 км <sup>2</sup> . Содержание бериллия - тысячные доли процента	I	
II I4 I5	2-III I-IV I-IU	Юго-восточные склоны Яблонового хребта Междуречье рек Большая Улетка и Средняя Улетка и по рекам Большая, Тарат, Делюн, Арта	Металлометрической съемкой выявлены ореолы рассеяния бериллия в нижнепалеозойских гранитах на площади в 1 км <sup>2</sup> , 21 км <sup>2</sup> и в 16 км <sup>2</sup> . Содержание бериллия до 0,005-0,01%.	I	
4	3-I	<u>Уран</u> Северо-западные склоны Яблонового хребта - левобережье р.Рушмалей	Металлометрической съемкой выявлен ореол рассеяния урана в среднепалеозойских гранитах на площади в 2,5 км <sup>2</sup> . Содержание урана 30·10 <sup>-4</sup> % (нормальный фон 15-20·10 <sup>-4</sup> %)	I	

6	4-I	Левобережье р.Жилков-шинская - ниже пади Гнилой	Выявлен при автограммасъемке в мелкозернистых гранитах. Содержание эквивалента урана 0,003-0,005%	I
7	3-II	Яблоновый хребет - верховья рек Зун-Холбо и Большая Сестреница	Радиоактивность 89 гамм (нормальный фон 20-21 гамм) в гнейсовых пегматоидных гранитах. Содержание эквивалента урана 0,009%	I
12	3-III	Яблоновый хребет - верховья р.Нижняя Черемхова	Металлометрической съемкой выявлен ореол рассеяния урана в нижнепалеозойских гранитах. Содержание урана $30 \cdot 10^{-4}$ - $36 \cdot 10^{-4}\%$ (нормальный фон $16 \cdot 10^{-4}$ - $17 \cdot 10^{-4}\%$ )	I
<u>Тантало-ниобаты</u>				
17	3-IV	Левобережье р.Ингода - водораздел рек Амбарная и Жимыхыр	Радиоактивность 94 гаммы в крупнозернистых пегматитах. Содержание эквивалента урана 0,009%. Люминесценция положительная. Отмечается вкрапленность минерала из группы тантало-ниобатов	I
<u>Торий</u>				
5	4-I	Яблоновый хребет - бассейны рек Рышмалей, Ближний Рушмалей, Курсун	Шлиховым опробованием выявлен ореол рассеяния тория, приуроченный к палеозойским гранитоидам на площади до $45 \text{ км}^2$ . Содержание торита в пробах до знакового	I

#### Стекольные пески

19	4-IV	Правобережье р.Ингоды в 0,8 км к ЮЗ от колхоза "Пушнина"	Кварц-полевошпатовый песок второй террасы р.Ингода (ранее сырье для выплавки бледно-зеленого бутылочного стекла)	I	Kачество и запасы не изучены
<u>Строительные материалы</u>					
<u>Перлиты</u>					
20	4-IV	Северо-западные отроги хр.Черский в 3,8 км к ЮЗ от с.Шебартуй	Смоляно-черные перлиты слагают дайки северо-восточного простирания, мощность даек 10-15 м, протяженность до 300 м	I	Участок заслуживает внимания, качество сырья не изучено
<u>Минеральные источники</u>					
8	4-II	Юго-восточные склоны Яблонового хребта Курорт Кука	Группа самоизливающихся источников курорта Кука, связанных с зонами разломов. Химический состав вод гидрокарбонатно-кальциево-магниевый или гидрокарбонатно-натриево-кальциевый. Содержание свободной углекислоты от 0,8 до 3,5 г/д. Дебит от 3 до $43 \text{ м}^3/\text{сут}$ , температура от 0,2 до 1,5°C	2	

9	4-II	Левобережье р.Ингода (падь Борзиха)	Самоизливающийся источник. Тип воды гидрокарбонатно-магниево-кальциевый. Содержание свободной углекислоты 1,5 г/л, дебит источника от 6 до 25 м³/сутки, температура воды от 0,5 до 0,90°C, радиоактивность вод до 32 эман.	2
16	2-IU	В 16 км к северо-западу от с.Улет (р.Крайняя Улетка, Кислый Ключ)	Тип воды гидрокарбонатно-кальциевый. Содержание урана $3 \cdot 10^{-8}$ г/л	I

## Приложение 4

## Химические анализы горных пород

№/п	Название породы и место взятия образца для анализа	SiO <sub>2</sub>	TiO <sub>2</sub>	Al <sub>2</sub> O <sub>3</sub>	Fe <sub>2</sub> O <sub>3</sub>	FeO	MnO	MgO	CaO	Na <sub>2</sub> O	K <sub>2</sub> O	P <sub>2</sub> O <sub>5</sub>	Потери при прокаливании	Судьба	Изменение гор. отложений для выделения	Литература
<u>Малханский интрузионный комплекс</u>																
1	Целкосернистый силикатный гранит (левобережье р.Алагуткин)	72,55	0,17	14,05	0,88	1,81	-	0,62	1,95	4,55	3,02	0,038	0,43	100,53	Б.М. интрузия, 1967	Г.Д. Баклановская
2	Гранит (левобережье р.Ингода)	78,71	0,15	14,42	0,24	1,29	2,02	0,21	1,51	2,76	3,05	0,04	0,35	99,40	"	"
3	Целкосернистый силикатный гранит (водораздел рек Улетки и Санги - Гуланы)	75,45	0,14	14,63	0,45	1,29	0,02	0,30	1,05	2,25	4,85	0,075	0,30	100,47	"	"
4	Мелкосернистый силикатный гранит (левобережье р.Амбаран)	72,42	0,185	15,80	0,88	1,64	0,03	0,48	1,20	2,40	3,50	0,02	0,20	100,72	"	"
5	Гнейсовинизированный гранит (р.Амбаран)	74,08	0,05	14,96	0,40	1,82	0,023	0,43	0,90	2,27	4,72	0,038	0,30	100,58	"	"
<u>Верхнеингодский интрузионный комплекс</u>																
6	Раббро (правобережье р.Старый Улутуй)	47,25	1,36	16,62	3,55	9,18	-	0,90	9,86	1,63	0,19	0,065	2,12	99,39	"	"
7	Роговообмикновенное габбро (район горы Гонгота)	45,00	0,86	21,22	2,93	7,54	0,05	0,84	11,35	1,50	0,22	0,12	2,04	100,58	"	"
<u>Даурский интрузионный комплекс</u>																
8	Порфировидный силикатный плагиогранит (верховья р.Гулкан, Иолгинский хребет)	64,20	0,55	18,09	1,09	3,08	0,06	0,55	3,38	3,15	2,30	0,25	0,52	100,47	"	"
9	Среднесернистый плагиогранит (левобережье р.Шобартуй)	70,42	0,41	18,41	1,57	3,66	-	1,28	3,65	3,79	1,20	0,10	0,58	100,87	"	"
10	Биотит-роговообмикновенный диорит (верховья р.Улетка Хилокская)	59,58	1,17	18,43	2,80	6,31	-	3,42	7,49	2,99	0,54	0,620	0,90	97,43	"	"

II	Биотитовый порфировидный гранит (левобережье р.Хилок)	72,81	0,25	15,69	0,64	I,57	0,044	0,44	I,86	3,4I	3,88	0,10	0,83	100,52	Д.М.Шустер
I2	Лейкократовый гранит (левобережье р.Ингода)	75,08	0,16	14,26	0,07	0,96	0,02	0,28	I,26	3,09	4,82	0,076	0,40	101,00	Г.Л.Знаменская
<u>Мало-куналейский интрузивный комплекс</u>															
I3	Торфировидный мелкозернистый гранит (район курорта Кука)	72,87	0,20	14,53	0,66	I,19	0,02	0,89	0,65	3,78	4,38	0,055	0,88	99,11	"
I4	Порфировидный гранит (правобережье р.Кислый Ключ)	73,86	0,18	14,00	0,76	I,30	0,024	0,16	0,24	3,64	5,88	-	0,45	100,00	"
I5	Мелковезернистый гранит (левобережье р.Айчиков-шикской)	76,80	0,16	13,13	0,42	0,91	0,015	0,10	0,40	3,67	4,80	0,083	0,24	100,68	"
I6	Аляскитовый гранит (правобережье р.Кислый Ключ, Яблочный крест)	75,78	0,10	13,45	0,87	I,58	-	0,82	0,58	3,94	3,10	0,028	0,39	100,53	"
I7	Лейкократовый щелочногранит (р.Ингода)	76,06	0,28	12,52	I,07	0,62	0,02	0,08	0,05	3,77	5,03	0,06	0,41	100,00	В.М.Чамкин, С.Н.Коровин, 1938
<u>Пермо-триасовые эфузивы</u>															"
I8	Анделезито-дапит (р.Курсун)	62,50	0,65	17,73	3,68	2,30	0,11	I,78	3,66	3,52	I,90	0,165	2,55	100,5	"
I9	Кварцевый порфир (гора Гонгота)	74,36	0,23	14,32	0,95	I,64	-	0,10	0,45	2,76	3,32	0,10	0,80	99,06	"
20	Кварцевый порфир (гора Гонгота)	70,69	0,30	14,78	I,30	3,00	0,06	0,18	2,15	2,92	4,31	0,18	-	99,69	"
21	Кварцевый порфир (горы Гонгота)	74,68	0,23	13,34	0,93	I,40	0,02	0,20	0,53	4,13	4,27	0,12	0,55	100,4	"
22	Трахимандейт (р.Хила)	67,14	0,38	16,96	I,56	I,90	0,05	0,21	0,46	4,92	5,20	0,11	0,8	98,97	"
23	Трахидицит ( хр.Осиновый)	67,67	0,50	18,82	I,22	I,88	0,02	0,10	0,57	5,29	3,84	0,020	I,27	100,83	"
24	Трахидицит ( хр.Цаган-Хуртей, р.Хила)	64,80	0,50	15,63	4,29	0,79	0,28	0,92	2,75	3,83	3,81	0,78	I,88	100,39	"
25	Кварцевые трахиты ( хр.Цаган-Хуртуй, р.Хила)	62,46	0,45	16,51	4,26	-	0,06	I,31	2,90	0,71	7,71	0,49	3,12	100,05	А.А.Арсеньев, Е.А.Нечаева, 1940
<u>Бальзойская свита</u>															Д.М.Шустер
26	Лавобрекчия субшелочного состава (левобережье р.Старый Улутуй)	74,10	0,13	13,84	0,43	I,36	0,015	0,21	0,48	3,50	5,47	0,06	0,92	100,3	Д.М.Шустер
27	Туфолавча субшелочного состава (левобережье р.Арта)	75,90	0,135	I,46	0,39	3,33	0,015	0,18	0,14	3,60	4,75	0,05	0,10	100	"
28	Субшелочная кварцодержащий порфир (левобережье р.Мильдугуй)	71,22	0,20	15,64	I,57	0,82	0,024	-	0,10	3,12	5,14	0,086	I,56	99,48	"
29	Кварцевый порфир (левобережье р.Курсун)	75,90	0,13	I4,73	0,60	I,18	0,024	0,28	0,30	3,19	3,10	0,048	I,10	100,57	"

26	Лавобрекчия субшелочного состава (левобережье р.Старый Улутуй)	74,10	0,13	13,84	0,43	I,36	0,015	0,21	0,48	3,50	5,47	0,06	0,92	100,3	Д.М.Шустер
27	Туфолавча субшелочного состава (левобережье р.Арта)	75,90	0,135	I,46	0,39	3,33	0,015	0,18	0,14	3,60	4,75	0,05	0,10	100	"
28	Субшелочная кварцодержащий порфир (левобережье р.Мильдугуй)	71,22	0,20	15,64	I,57	0,82	0,024	-	0,10	3,12	5,14	0,086	I,56	99,48	"
29	Кварцевый порфир (левобережье р.Курсун)	75,90	0,13	I4,73	0,60	I,18	0,024	0,28	0,30	3,19	3,10	0,048	I,10	100,57	"

Приложение 5

Пересчет химических анализов (см. прил. 4) по А.Н. Заварецкому

№ п/п	Название по- род	a	c	b	s	a <sup>1</sup>	f <sup>1</sup>	m <sup>1</sup>	c <sup>1</sup>	n	Q	γ	t	a:c
I	Биотитовый гранит	I4,10	I,80	3,72	80,40	7,80	65,00	27,90	-	70,00	30,80	21,00	I,60	7,3
2	Гранит	6,50	I,78	10,50	81,80	83,00	I3,50	3,50	-	46,00	47,70	8,85	I,63	3,6
3	Мелкозернистый биотитовый гра- нит	II,65	I,05	7,05	80,25	70,20	23,20	6,60	-	41,44	36,10	5,82	0,14	II,6
4	Мелкозернистый биотитовый гранит	I2,71	I,40	7,63	78,30	61,01	29,10	9,8	-	39,70	29,74	9,83	0,21	I2,20
5	Гнейсовидный гра- нит	I3,62	0,89	5,52	79,97	63,93	29,30	6,77	-	51,80	33,00	0,72	-	I5,30
6	Габбро	4,17	9,83	26,54	59,86	-	47,40	40,50	I7,20	93,50	0,65	I2,70	2,90	0,32
7	Роговообманковое габбро	4,47	I3,56	24,37	57,47	-	51,41	41,28	7,30	89,40	7,43	I8,80	I,34	0,32
8	Порфировидный биотитовый пла- тиогранит	I6,29	4,00	4,91	74,30	-	80,00	I,9	0,90	70,50	I3,00	I,90	0,65	4,00
9	Среднезернистый плагиогранит	I2,00	2,70	8,00	77,23	-	56,00	25,30	I8,75	85,80	27,80	I5,50	0,42	4,4
10	Биотит-роговооб- манковый диорит	8,00	9,28	I5,90	66,80	-	57,40	39,70	3,01	88,50	I8,30	I5,90	I,61	0,89

II	Биотитовый порфи- ровидный гранит	I5,58	2,14	3,03	79,30	I2,80	63,80	23,40	-	46,80	25,40	I7,00	0,29	7,25
I2	Лейкократовый гранит	I3,30	I,40	3,30	82,00	68,20	23,90	I2,90	-	49,16	36,00	-	0,17	9,50
I3	Порфировидный мелкозернистый гранит	I4,90	0,76	5,24	79,10	56,95	30,85	I2,20	-	56,50	27,64	I0,00	0,24	I9,6
I4	Порфировидный гранит	I8,00	I,00	I,40	80,00	-	60,00	20,00	20,00	37,00	22,60	30,00	0,20	I8,0
I5	Мелкозернистый гранит	I6,20	0,90	0,70	82,20	-	25,00	25,00	50,00	40,00	30,80	25,00	0,17	I8,0
I6	Аляскитовый гранит	I2,40	0,60	6,40	80,60	49,00	31,40	I9,60	-	66,00	35,80	I2,90	0,08	20,6
I7	Лейкократовый щелочной гранит	I4,75	-	I,95	82,59	42,50	52,50	5,00	-	53,30	36,39	38,50	0,23	I4,75
I8	Андезит-дацит	I0,44	4,46	I3,05	71,06	35,00	41,70	23,20	-	73,60	27,00	24,20	0,81	2,5
I9	Кварцевый порфир	I0,10	0,50	9,20	79,90	73,20	24,70	2,10	-	97,40	39,40	8,40	0,26	20,20
I20	Кварцевый порфир	I2,40	2,50	5,90	79,20	29,80	65,50	5,18	-	50,40	31,10	I8,00	0,33	5,0
I21	Кварцевый порфир	I4,50	0,60	8,50	81,40	32,00	58,60	9,40	-	59,40	33,20	22,50	0,26	24,10
I22	Трахиандезит	I7,90	0,60	6,50	75,00	48,70	46,30	5,27	-	51,00	I3,60	I9,40	0,36	2,70
I23	Трахидазит	I6,50	0,60	8,40	74,50	67,00	30,70	2,30	-	60,90	I5,40	II,00	0,50	2,70
I24	Трахидазит	I5,00	3,00	6,70	75,30	-	72,00	24,30	3,7	58,5	I7,6	52,5	0,55	3,66
I25	Кварцевый трахит	I3,23	3,70	9,10	74,00	28,50	44,50	27,00	-	II,83	I1,60	44,50	0,53	3,60
I26	Левобрекция субще- лочного состава	I7,90	I,10	I,30	79,80	-	34,00	24,00	42,00	35,00	22,60	60,00	0,129	I6,3
I27	Туфоловая субще- лочного состава	I5,80	I,50	I,30	81,80	-	65,60	I2,00	I3,30	37,50	28,60	28,50	0,126	I0,0

28	Субщелочная кварц-содержащий порфир	17,40	0,10	4,60	77,80	57,70	42,80	-	-	87,00	20,00	27,00	0,25	17,40
29	Кварцевый порфир	12,80	0,30	6,60	80,20	71,40	22,40	6,20	-	51,00	34,60	7,60	0,12	4,30

## СОДЕРЖАНИЕ

	Стр.
Введение .....	3
Стратиграфия .....	6
Интузивные образования .....	34
Тектоника .....	48
Геоморфология .....	54
Полезные ископаемые .....	56
Подземные воды .....	66
Литература .....	70
Приложения .....	79

---

Редактор издательства В.В.Кузовкин  
Технический редактор Г.А. Константинова  
Корректор В.А.Бобринская

Подписано к печати 19.II.1963г.  
Формат бумаги 60x90 I/16. Бум.л. 2,6. Печ.л.5,2. Уч.-изд.л.5,4  
Тираж 250 экз. Бесплатно. Заказ № 126с.

Ротапrint ВИТР.

Ленинград, В.О., Кожевенная л., 23а.

— 85 —